



**INSTITUT DES GEOSCIENCES DE L'ENVIRONNEMENT**

**CNRS - Université Grenoble Alpes  
OBSERVATOIRE DES SCIENCES DE L'UNIVERS - GRENOBLE**

BP 96, 38402 SAINT MARTIN D'HERES CEDEX  
TEL : 04.76 82.42.00

# **GLACIER DE GEBROULAZ 2020**

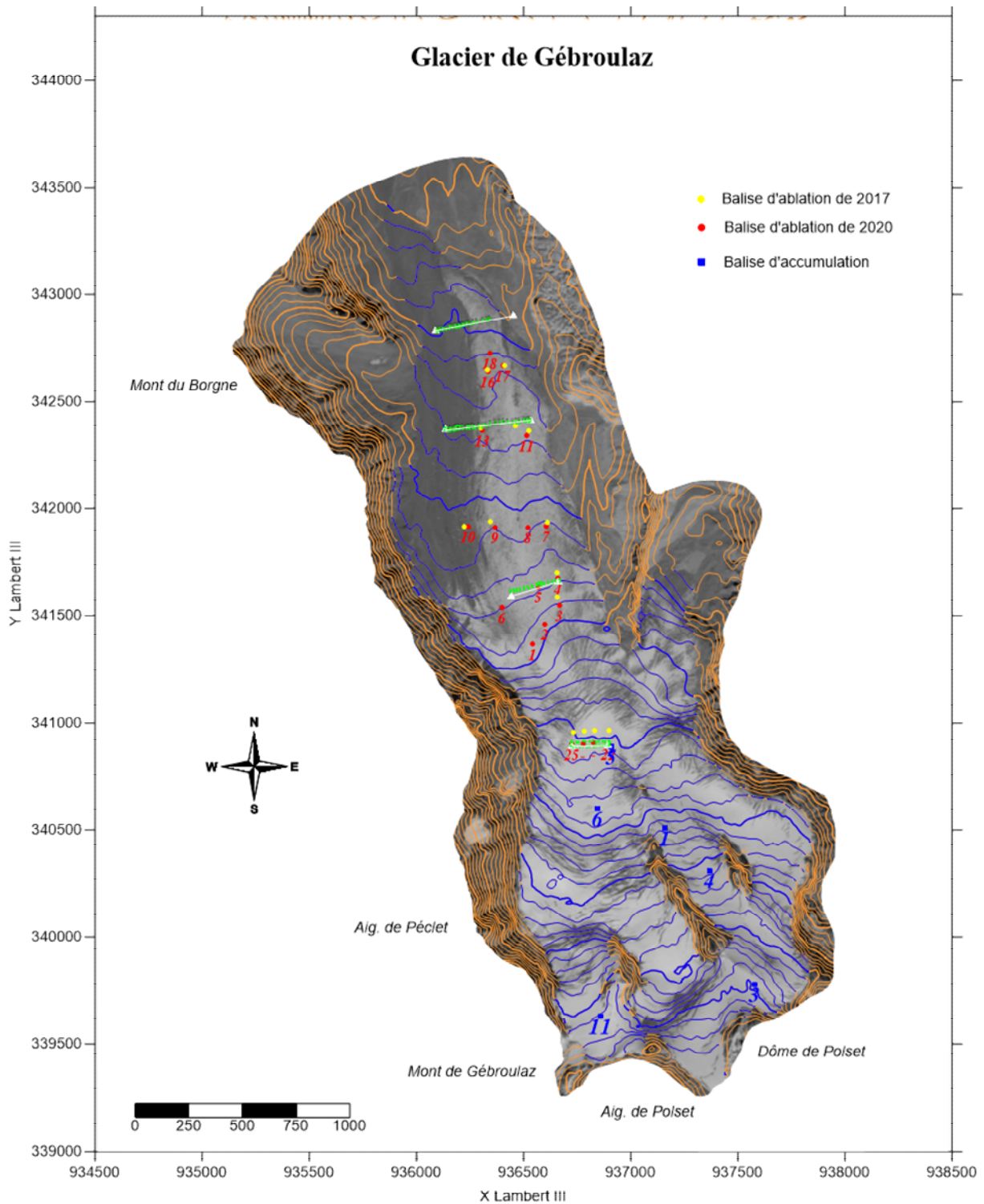
***Rapport annuel pour le Parc de la Vanoise***

*Delphine SIX, Christian VINCENT et Olivier LAARMAN*



*Glacier de Gébroulaz, octobre 2020 (photo : D. SIX)*





Distances et coordonnées exprimées en mètres : équidistance altimétrique de 20 m  
 Modèle numérique de terrain obtenu par restitution photogrammétrique analytique (clichés du 20/09/2003)  
 Levé suivant une maille de 25 m, lignes et points caractéristiques  
 Planimétrie dans le système IGN Lambert III - Altimétrie dans le système NGF - IGN 1969  
 Photographies aériennes (1/20000) argentiques numérisées et orthorectifiées

*Figure 1 : Carte de situation des balises d'ablation (en jaune pour celles implantées en 2017, en rouge pour les nouvelles de 2020) et des sites de carottage (en bleu), mesurés en 2020. Les 4 profils transversaux de la zone d'ablation sont représentés sur cette figure (points verts) du plus haut au plus bas: Polset, Pecelet, Supreme (ou SS') et Supérieur.*

## I. Campagnes de mesures en 2020

L'IGE (*Institut des Géosciences de l'Environnement*, CNRS-UGA, Grenoble) réalise depuis de nombreuses années le suivi du glacier de Gébroulaz pour le compte du Parc National de la Vanoise. La subvention en cours entre IGE et le PNV (Référence LC/VCV/n°670) couvre une durée de 3 ans à compter de 2019 (rendus des rapports annuels aux 31 décembre 2019, 2020, et 2021).

Dans ce rapport de 2020 est consigné l'ensemble des observations glaciologiques de l'année en cours, ainsi qu'un historique des observations présentant l'évolution de l'état du glacier au cours du temps. Le suivi du Glacier de Gébroulaz par l'IGE a été mené en 2020 grâce à quatre campagnes de terrain, dont une (en juillet 2020) qui a permis de ré-installer l'ensemble du réseau de balises d'ablation. L'année 2020 a été une année très particulière pour mener à bien nos observations, mais nous avons quasiment pu maintenir le protocole habituel au cours de l'été. Les mesures d'accumulation hivernale ont été un peu tardives en revanche (début juin contre début mai habituellement), faisant suite au déconfinement puis au mauvais temps.

Les mesures ont été réalisées entre les mois de juin et le 20 octobre. Les participants à ces mesures, du printemps à l'automne, sont du personnel de l'IGE : Fanny Brun, Thomas Condom, Diego Cusicanqui, Bruno Jourdain, Olivier Laarman, Xavier Ravanat, Delphine Six, Christian Vincent. Le traitement des données et la rédaction du rapport ont été réalisés par D. Six et C. Vincent à l'automne 2020.

Ces quatre campagnes se sont déroulées :

. Le 03 06 2020, pour les mesures de bilans hivernaux sur tout le glacier. En zone d'accumulation, 6 carottages ont été effectués (voir points bleus de la carte de la *Figure 1*) pour obtenir les hauteurs de neige hivernale. Ces hauteurs de neige sont ensuite converties en hauteurs d'eau grâce aux profils de densité que nous réalisons sur place (mesures du volume et de la masse des carottes de neige). En zone d'ablation, nous avons estimé la hauteur de neige par sondage, que nous convertissons également en hauteur d'eau. Chaque sondage est réalisé aux emplacements des balises d'ablation enfouies sous la neige à cette époque de l'année. Vingt et un sondages ont ainsi été réalisés dans la zone basse du glacier. Aucun carottage n'a été réalisé en zone d'ablation. Les résultats de ces mesures sont donnés en *Annexe XI*.

. le 16 juillet 2020, pour ré-installer les balises sur le glacier. La difficulté a résidé en la quantité de neige encore restante sur le glacier à cette date et l'obligation de creuser pour trouver la glace.

. le 26 08 2020, pour le relevé de l'émergence du réseau de balises des zones d'accumulation et d'ablation. Nous avons également réalisé les mesures topographiques : vitesses du glacier (grâce aux déplacements mesurés des balises, voir les résultats *section IV*, variations d'épaisseur pour les 4 profils en travers du glacier (voir les profils en blanc sur la carte de la *Figure 1* (nommés Polset, Pécllet, suprême (SS') et supérieur) et résultats *section III* et position du front (*section V*). Ces mesures sont réalisées à l'aide d'un GPS différentiel bi-fréquence. Les résultats annuels sont comparés aux années précédentes dans des graphiques afin de suivre l'évolution du glacier. Des tableaux en annexes regroupent les résultats depuis le début des observations.

. Les 20 octobre 2020 pour une dernière mesure des émergences des balises à la fin de la saison hydrologique afin de déterminer les bilans de masse annuels en fin de saison d'ablation en chaque point du glacier. Cumulant les valeurs d'accumulation mesurées au printemps aux bilans annuels, nous pouvons en déduire, en tout point, la fonte estivale sur le glacier (voir *section II*). Ces émergences ont été relevées dans toute la zone d'ablation du glacier et également en zone d'accumulation.

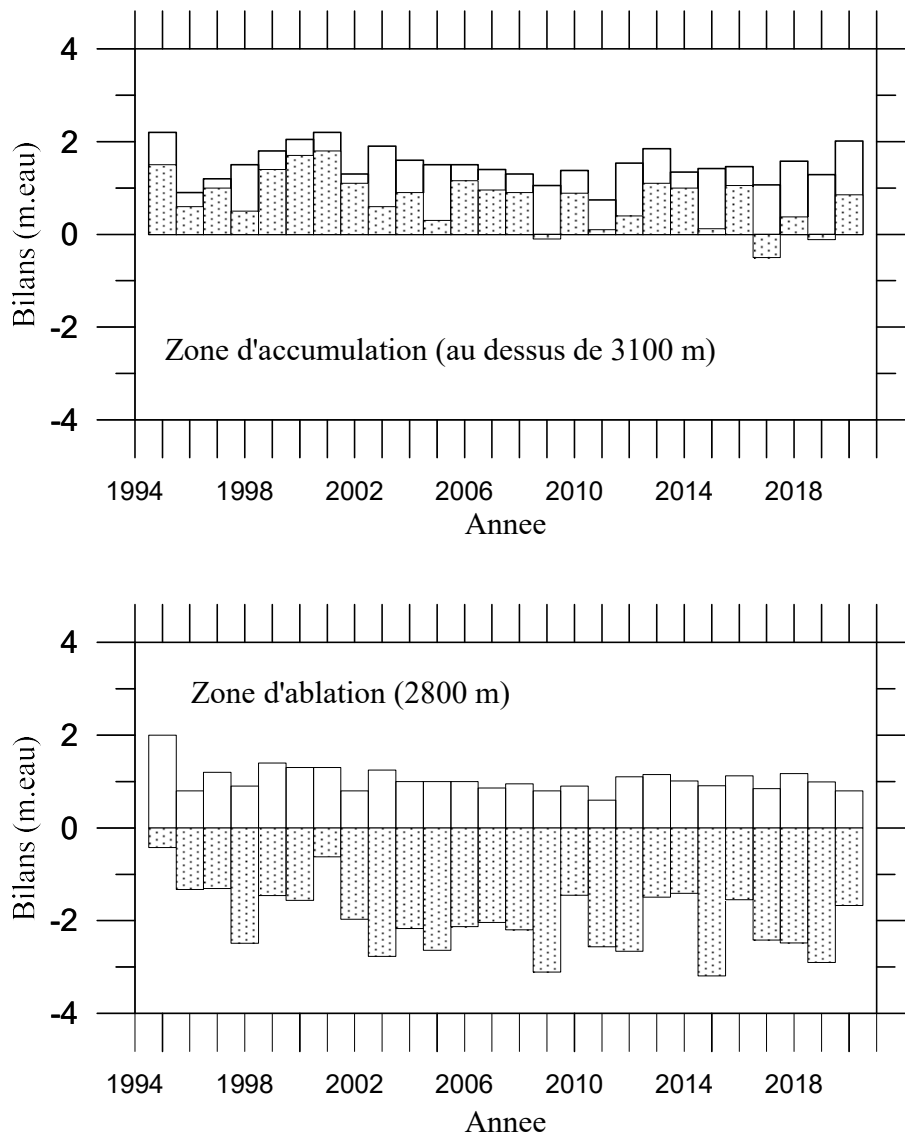


Figure 2: Bilans annuels (en gris) observés sur le glacier de Gébroulaz depuis 1994/1995 en zone d'accumulation (graphe du haut) et en zone d'ablation (graphe du bas). En zone d'accumulation comme en zone d'ablation, les bilans hivernaux (en blanc) sont représentés à partir de l'ordonnée zéro. Pour la zone d'accumulation, le bilan estival est la différence entre la partie blanche et la partie grisée. Pour la zone d'ablation, le bilan estival est la somme algébrique de la partie blanche et de la partie grisée (bilan annuel négatif). De cette façon, la partie grisée représente en zone d'accumulation la quantité de neige restante à la fin de la saison hydrologique (pour les années 2016/2017 et 2018/2019, le bilan de masse est exceptionnellement négatif dans la zone d'accumulation au dessus de 3100 m) et en zone d'ablation la quantité de glace disparue.

## II. Bilans de masse de l'année 2020

### a. Bilan hivernal

Pour rappel, en ce qui concerne la mesure du bilan hivernal, nous procédons comme suit : en zone d'accumulation tout d'abord, nous réalisons chaque année 6 carottages à l'aide d'un carottier PICO (*Figure 1*, points bleus et *Annexe XI* pour les mesures de hauteur de neige en chaque point). Les carottages permettent d'observer la stratigraphie du manteau neigeux et de reconnaître le névé (ou la glace) des années antérieures. Ils permettent également de mesurer la densité du manteau neigeux (et donc donnent accès à l'équivalent en eau) à partir de la mesure de la masse et du volume des carottes. En zone d'ablation, nous mesurons les accumulations de neige aux sites des balises d'ablation (points rouges de la *Figure 1*). Ces balises sont invisibles au mois de mai lors de la campagne de carottages (elles sont enfouies sous la neige) mais elles ont été localisées à l'aide d'un instrument GPS de navigation. Les bilans de masse hivernaux en zone d'ablation sont réalisés par sondages (avec une sonde à neige). Ces sondages sont utilisés uniquement en zone d'ablation dans la région du glacier où il n'y a pas de risque de confusion de la détection de la couche de l'année passée (puisque la surface de l'automne précédent est en glace). Certaines années, en zone d'ablation, ces observations sont complétées par un ou deux carottages qui permettent de mesurer la densité du manteau neigeux également dans cette région. Cette année, nous n'avons pas réalisé de carottage complémentaire.

Les bilans hivernaux sont reportés sur la *Figure 2*, en zone d'accumulation du glacier d'une part (au dessus de 3100 m : sites de forage 11, 3, 4, 1) et en zone d'ablation d'autre part (vers 2800 m : balises 4, 5 et 6) depuis 1994. En zone d'accumulation, au-dessus de 3100 m, la valeur de l'accumulation hivernale est de +2.01 m d'eau (partie blanche de la *Figure 2*, en haut), valeur très largement supérieure à la moyenne des 26 dernières années, qui est de +1.50 m d'eau (l'incertitude sur la mesure des bilans hivernaux est supérieure à 20 cm d'eau. La variabilité temporelle de l'accumulation hivernale est de 0.37 m d'eau). En zone d'accumulation, l'année hydrologique 2019/2020 se caractérise ainsi par un stock de neige hivernal très important (3<sup>ème</sup> année la plus excédentaire depuis 1994). La figure 2 montre également la très forte variabilité interannuelle de l'accumulation annuelle.

En zone d'ablation vers 2800 m, l'accumulation hivernale est de +0.8 m d'eau, valeur en dessous de la moyenne des accumulations mesurées dans cette zone du glacier depuis 1995 (+1.04 m d'eau). Mais il est important de noter que nos valeurs d'accumulation ont été réalisées un mois après la date « habituelle », et que de la fonte a déjà eu probablement lieu en zone d'ablation.

### b. Bilan estival

En zone d'accumulation, l'ablation estivale est mesurée grâce aux balises implantées au printemps dans les trous de carottages. En zone d'ablation, l'ablation est obtenue par la lecture de l'émergence de balises dans la glace dont le renouvellement du réseau s'effectue tous les 2 ou 3 ans sur Gébroulaz. Il avait été effectué en septembre 2017, puis cet été, le 16 juillet 2020.

En zone d'accumulation, le bilan estival de 2020 est égal à -1.16 m d'eau, comparé à la moyenne de la période 1995-2020 qui est de -0.74 m d'eau. La fonte estivale a donc été importante. Le bilan hivernal ayant été très largement excédentaire, le bilan annuel dans cette zone du glacier, est positif (+0.85 m d'eau), supérieur à la moyenne des 26 dernières années (+0.75 m d'eau).

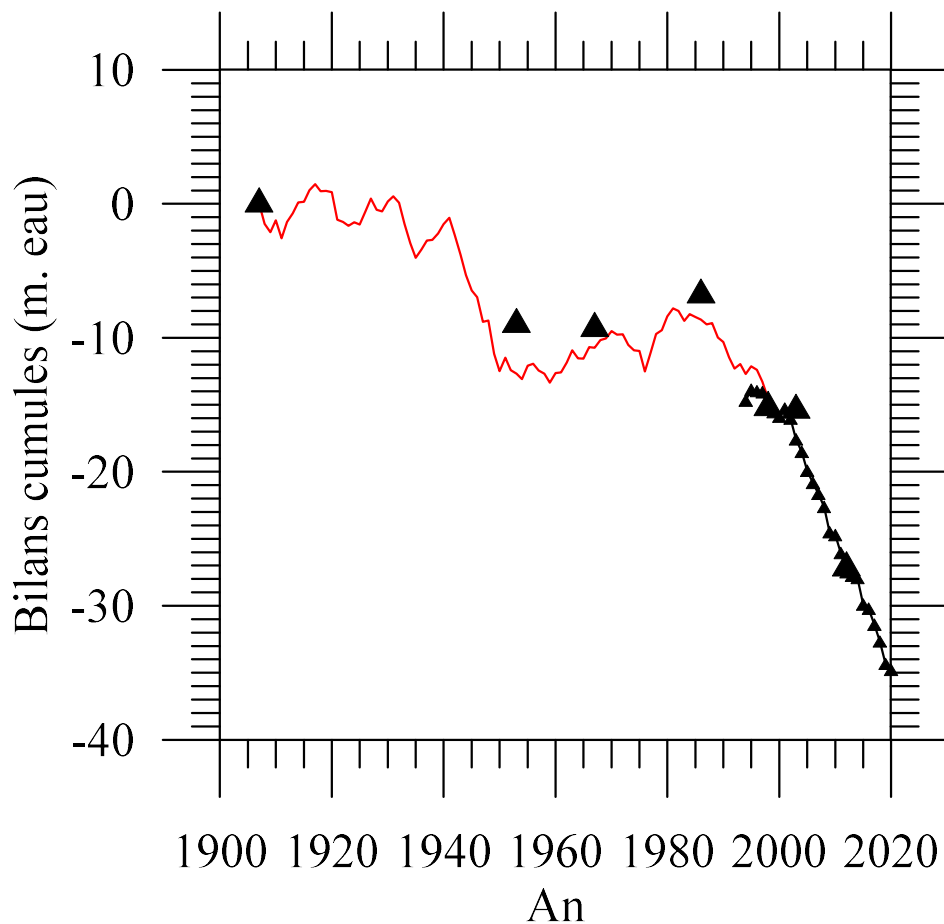


Figure 3 : Bilans de masse cumulés du glacier de Gébroulaz depuis le début du 20<sup>ème</sup> siècle. Ces bilans représentent la variation d'épaisseur moyenne sur l'ensemble de la surface du glacier, exprimée en mètres d'eau. Ainsi, le glacier de Gébroulaz a perdu l'équivalent d'une lame d'eau de 34,8 m d'eau depuis 1907. Les petits triangles représentent les résultats des mesures directes de terrain des bilans de masse ; les triangles plus larges représentent les résultats obtenus d'une part à partir des restitutions photogrammétriques réalisées par le LGGE (IGE) grâce aux clichés photogrammétriques aériens, d'autre part de la carte topographique du service géographique de l'Armée établie en 1905/1907. La courbe continue rouge résulte d'un modèle de calcul réalisé à partir des données météorologiques des stations de plaine ou de vallée (Précipitations de Besse en Oisans entre le 1<sup>er</sup> octobre et le 31 mai, et températures de Lyon entre 1<sup>er</sup> mai et le 31 septembre).

Dans la zone d'ablation vers 2800 m, le bilan estival est égal à -2.47 m d'eau, valeur moins négative que la moyenne sur la période 1995-2020 (-3.00 m d'eau), mais là encore, le bilan estival étant mesuré à partir du 3 juin, de la fonte est déjà intervenue dans cette zone, sous-estimant cette valeur de bilan estival. Il faut donc regarder le bilan annuel si l'on veut comparer aux autres années. Le bilan annuel dans cette région du glacier est de -1.67 m d'eau, moins négatif dans cette zone que la moyenne sur la période totale qui est de -1.95 m d'eau.

### **c. Bilan de masse annuel global du glacier**

Le bilan de masse annuel du glacier est calculé à partir des observations de bilans mesurés dans la zone d'altitude 2700-2850 m et d'une analyse des variations de ces bilans dans cette zone. Pour faire ce calcul, nous utilisons un modèle de variations linéaires du bilan de masse : pour appliquer cette méthode, nous supposons que les variations temporelles du bilan de masse annuel sont similaires sur l'ensemble du glacier. Cette hypothèse a été validée sur plusieurs glaciers alpins. Ce modèle a le gros avantage de calculer des variations temporelles de bilans qui ne sont pas affectées par des observations ponctuelles manquantes. Ce type d'analyse permet d'obtenir ainsi une série temporelle de bilans de masse sur l'ensemble de la période de mesure. Le bilan de masse correspond à l'équivalent de la lame d'eau perdue (ou gagnée) sur l'ensemble de la surface.

Le bilan de masse de l'année 2019/2020 est égal à -0.43 m d'eau. Comme déjà mentionné, les accumulations hivernales ont permis de protéger le glacier au printemps et jusqu'en juillet. Le bilan annuel total du glacier est donc bien moins négatif que le bilan annuel moyen sur la période 1994-2020, qui est de -0.77 m d'eau. Depuis 2003, nous observons une accélération de la fonte. L'année hydrologique 2019/2020 marque donc un petit répit dans ces fortes pertes de masse.

### **d. Bilans de masse cumulés, par photogrammétrie et mesures lidar.**

Pour obtenir le bilan de masse cumulé de l'ensemble du glacier sur la période, nous utilisons les observations photogrammétriques de 1998 et 2003 et les observations lidar hélicoptérées de 2012, totalement indépendantes des mesures de terrain. Ces campagnes aériennes permettent d'obtenir des modèles numériques de terrain du glacier et les pertes d'épaisseur sur ces différentes périodes. La lame d'eau perdue entre 2003 et 2012 est de 10.8 m d'eau. Les bilans de masse glaciologiques sont calibrés sur la période 1998-2012.

Les bilans de masse cumulés et calculés depuis 1907 sont reportés sur la *Figure 3*. Ils indiquent une forte décrue depuis le milieu des années 80 avec une accélération de cette décrue depuis 2003. De 1995 à 2020, la moyenne des bilans est de -0.77 m d'eau/an ; depuis 2003, la perte moyenne s'élève à -1.06 m d'eau/an. Depuis 1907, le glacier a perdu une lame d'eau de 34,8 m, soit 38.7 m de glace en moyenne sur toute sa surface (*Figure 3*). Bien sûr, les parties hautes du glacier perdent moins que les parties basses. Notons que sur les 35 dernières années (depuis le milieu des années 80), 9 des 10 années les plus négatives se situent après 2003.

### III. Variations des épaisseurs aux profils transversaux

#### a. Historique des mesures de ces profils.

Les mesures de variations d'épaisseurs du glacier sont réalisées sur la langue glaciaire sur 4 profils transversaux indiqués sur les *Figures 1* et *6* (zoom sur le front et les profils les plus bas), à l'aide d'instruments de topographie GPS (récepteurs GPS différentiel bi-fréquence). L'altitude moyenne de chacun des profils est calculée à partir des points topographiques (GPS) relevés sur le terrain et la méthode dite « des aires » : entre les deux extrémités d'un profil transversal, fixées une fois pour toutes, l'altitude de chaque segment est pondérée par la distance de ces segments. On obtient donc une altitude moyenne (qui n'est pas une moyenne arithmétique) qui est indépendante de l'échantillonnage de points mesurés sur le terrain. Les altitudes sont reportées dans les tableaux de l'*Annexe III*.

Les variations d'altitude sont mesurées depuis le début des observations par les Eaux et Forêts en 1904 sur les profils inférieur et supérieur. On peut voir une large interruption entre 1954 et 1983, qui correspond par ailleurs à une période de crue du glacier. Le profil inférieur est totalement déglacé depuis 2002 suite au recul de la langue (illustré *Figure 5, en haut*). Le profil dit « suprême » et le profil dit « supérieur » sont mesurés depuis 1986. L'appellation du profil « supérieur » a été donnée par les Eaux et Forêts au début du 20<sup>ème</sup> siècle. Il se situe pourtant aujourd'hui dans la zone inférieure du glacier.

Les mesures sur les deux profils dit « Pecllet » (à 2850 m) et « Polset » (à 3000 m) ont débuté en août 2007 pour compléter le suivi des variations d'épaisseurs du glacier dans des zones plus élevées de la zone d'ablation et pour rendre compte de la perte d'épaisseur en fonction de l'altitude.

Depuis 1993, nous avons rétabli l'ancien profil « Suprême SS' » (vers 2760 m d'altitude) des Eaux et Forêts à proximité du Col du Soufre. Ce profil avait été implanté en 1953 (au moment où le profil inférieur disparaissait). Ce profil a été aussi rattaché au réseau NGF (Nivellement Général de la France). L'altitude de 1986 est issue de la restitution photogrammétrique des clichés du 11 septembre 1986.

Dans ce rapport, les altitudes sont calculées selon le système NGF (*annexe III*).

#### b. Variations d'épaisseur en 2020

Nous avons réalisé les mesures topographiques (épaisseurs, vitesses, position du front) le 26 août 2020. Les *Figures 4a, 4b* montrent la perte d'altitude de la surface glaciaire pour quelques années depuis le début des mesures, et pour 2020 (en rouge) le long des 4 profils. Les variations d'altitude sont relativement homogènes d'une rive à l'autre du glacier. Les variations d'épaisseur dépendent à la fois des bilans de masse de surface et de la dynamique du glacier. Les valeurs de l'altitude moyenne de chaque profil sont ensuite calculées et reportées *Figure 5* (en haut). On note une très forte régularité de la perte d'épaisseur depuis le milieu des années 90 pour les profils SS' et Supérieur.

D'après les mesures et les calculs annuels d'altitudes moyennes (*Annexe III*), nous pouvons exprimer les variations d'altitude d'année en année sur chacun des profils. Dans le tableau suivant, et pour chacun des profils, nous reportons les variations d'altitude depuis 2015. Nous observons des pertes d'épaisseurs en relation avec l'altitude :

	Polset	Pecllet	SS'	Supérieur
2016	-0.3 m	-0.7 m	-1.8 m	-2.3 m
2017	-0.6 m	-1.7 m	-2.6 m	-2.8 m
2018	-2.3 m	-2.1 m	-2.4 m	-2.5 m
2019	-0.9 m	-1.9 m	-2.3 m	-2.7 m
<b>2020</b>	<b>-0.7 m</b>	<b>-1.3 m</b>	<b>-1.6 m</b>	<b>-2.0 m</b>

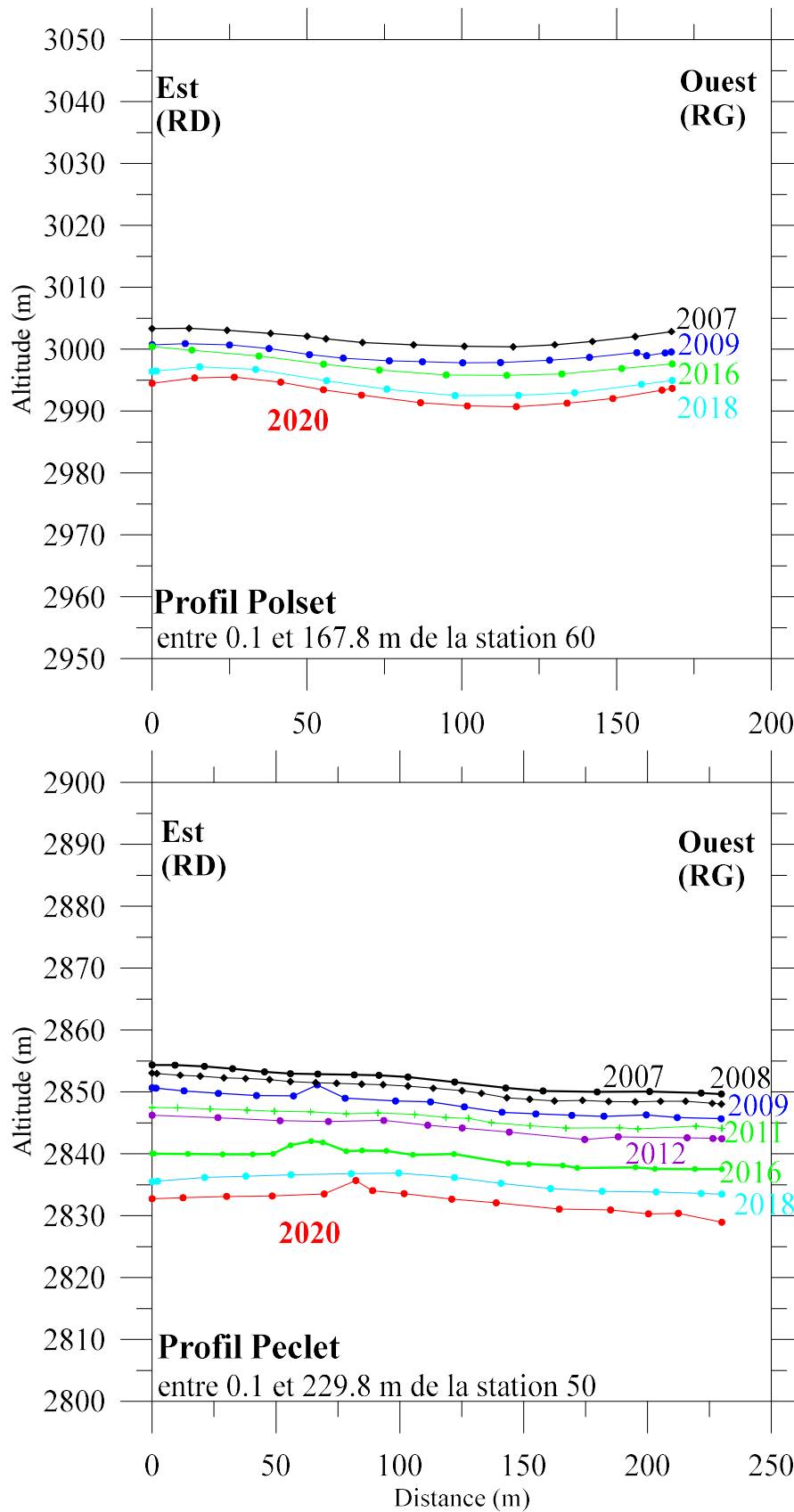


Figure 4a: Variations d'altitude aux profils Polset (3000 m d'altitude) et Peclet (2850 m d'altitude). La situation de ces profils est reportée sur la Figure 1. RD et RG signifient Rive Droite et Rive Gauche.

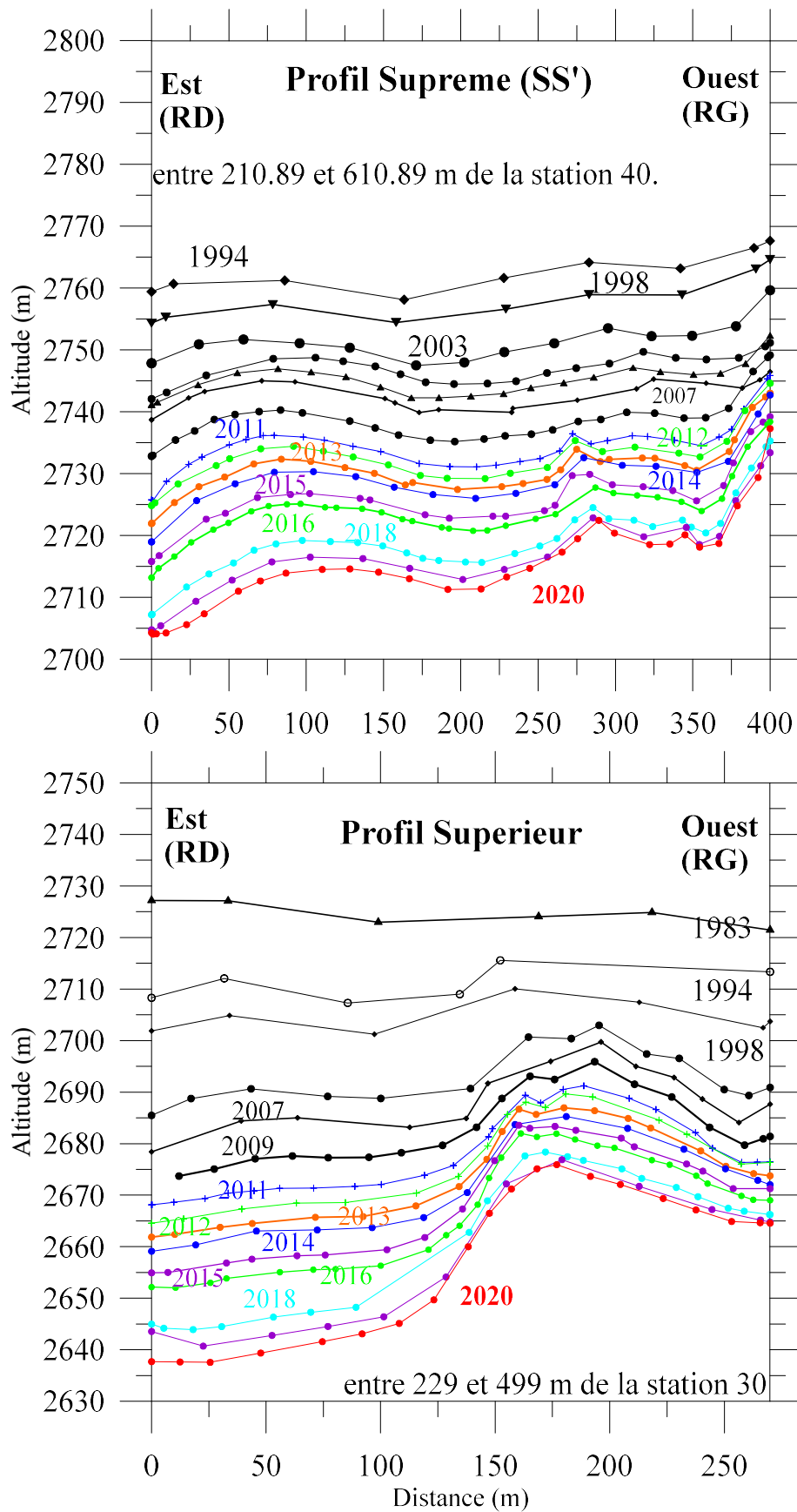


Figure 4b: Variations d'altitude aux profils Suprême et Supérieur (profils vus de l'aval). La situation de ces profils est reportée sur les Figures 1 et 6. RD et RG signifient Rive Droite et Rive Gauche.

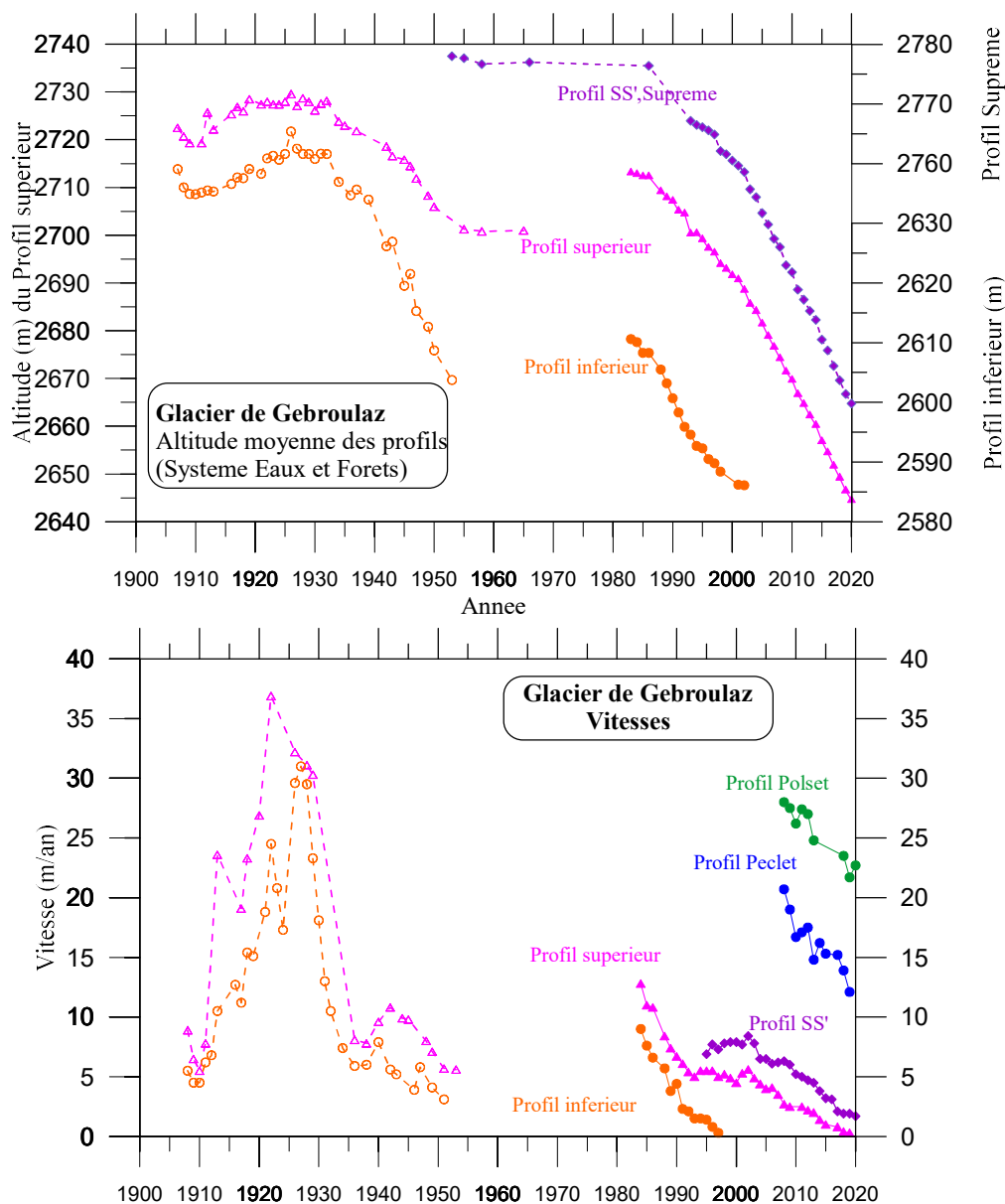


Figure 5 : Variations des épaisseurs aux trois profils transversaux Suprême, Supérieur et Inférieur (haut de la figure) et variations de vitesses sur ces trois profils (depuis 1983, les vitesses sont celles du centre du glacier) (bas de la figure). Les vitesses et altitudes moyennes des profils Pecllet et Polset ne sont pas représentées sur cette figure. Les mesures entre 1907 et 1954 ont été réalisées par les Eaux et Forêt ; à partir de 1983, les observations ont été faites par le Laboratoire de Glaciologie de Grenoble (IGE). Il n'y a pas eu de mesures de vitesses sur le glacier entre 1954 et 1983. Les altitudes des profils inférieure et supérieure sont exprimées dans le système altimétrique des Eaux et Forêts, qui diffèrent de plusieurs mètres du système NGF (Cf. Tableaux de l'Annexe III).

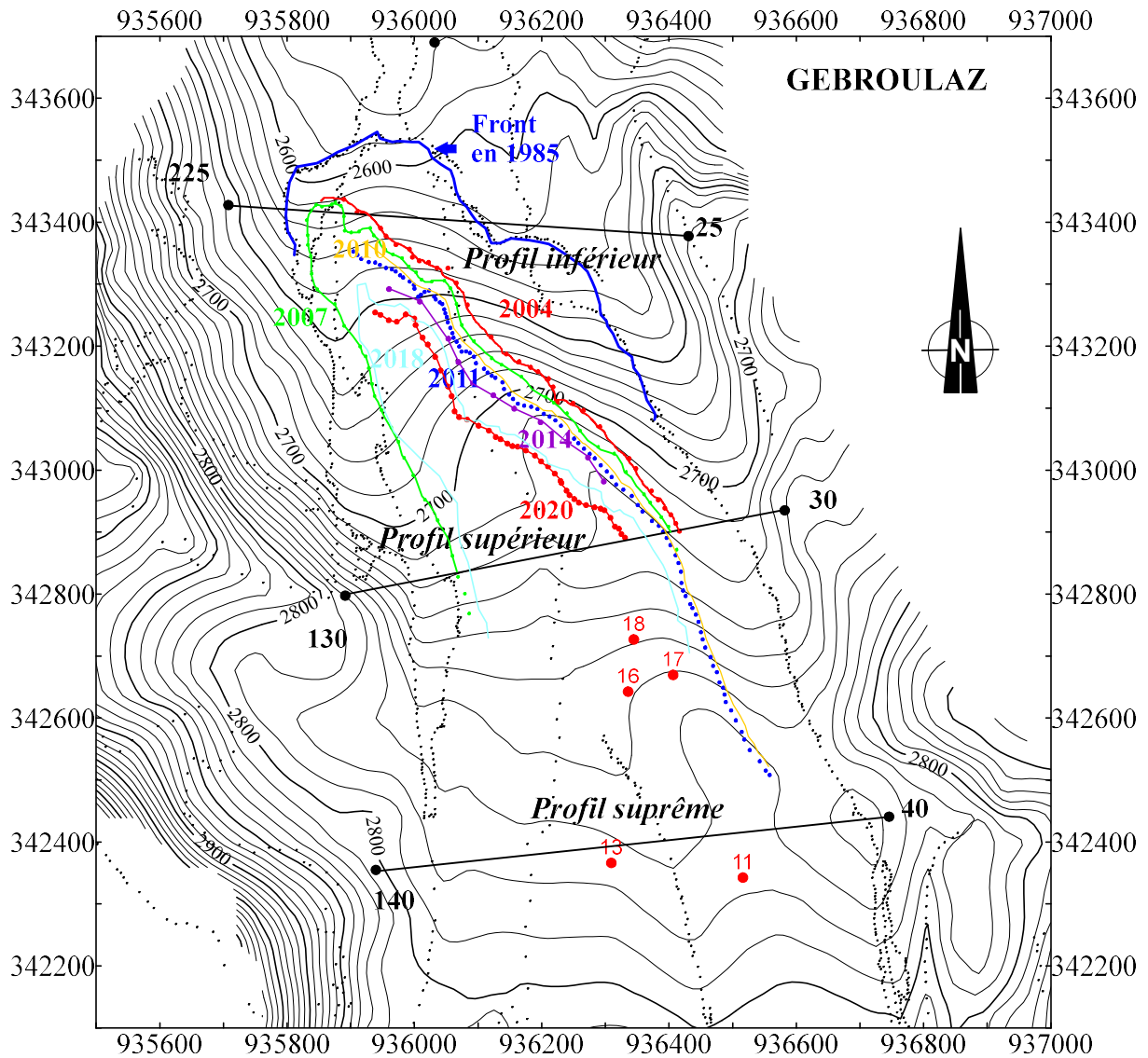


Figure 6 : Evolution du front du glacier depuis 1985. Localisation des balises d'ablation implantées en bas du glacier en 2020 en rouge. Les trois profils transversaux du bas sont également représentés. En 2020, le front est représenté en rouge et a été mesuré à partir de la rive droite jusqu'au torrent exutoire. Dans cette zone du glacier, il est complexe de déterminer la glace active des moraines. La position du front est donc donnée avec plusieurs mètres d'incertitude.

## IV. Variations des vitesses d'écoulement du glacier

### a. Méthode de mesures

Les vitesses d'écoulement en surface du glacier (*Figure 5*, bas de la figure) sont mesurées à partir du déplacement des balises au centre du glacier, à l'aide des instruments de topographie GPS différentiel. Ces déplacements sont calculés sur une année entière en m/an. Ils sont connus avec une précision de 5 cm environ ; en fait, la précision dépend de la matérialisation du point mesuré (la balise implantée dans le glacier), plutôt que la précision (millimétrique) de la mesure géodésique elle-même. Toutes ces observations de vitesses sont reportées en *annexes I et XI*.

### b. Résultats

En 2020, nous n'avons pas pu mesurer les vitesses d'écoulement aux profils Pecllet et supérieur. Pour ce dernier, nous n'avons plus les balises de 2017 encore en place. Pour le profil Pecllet, la mesure au centre du profil n'a pas fonctionné (balise 5). La vitesse au profil ss' diminue. Celle au profil Polset est supérieure à celle de 2019, mais il faut comprendre que ces vitesses sont mesurées aux balises de 2017 et que ces balises se déplacent et avancent d'année en année. Celles situées sur cette région haute du glacier se rapprochent de la zone à forte pente et accélèrent donc. L'an prochain, nous mesurerons à nouveau les balises de 2020 sur le profil habituel. Cela crée donc des irrégularités d'année en année sur le profil de Polset, et dans une moindre mesure sur le profil Pecllet (*Figure 5bas*).

Le ralentissement du glacier est lié à la perte d'épaisseur de glace au niveau des différents profils. Sur la *Figure 5* (en bas), on peut noter que la vitesse de la langue du glacier (profils « supérieur » et « suprême ») décroît régulièrement depuis 1995 mais avec une pente beaucoup moins marquée qu'à la fin des années 80.

## V. Variations du front

La mesure et le calcul du front restent toujours problématiques sur Gébroulaz car la langue du glacier est couverte de débris morainiques (tout spécialement en rive gauche) et le front recule irrégulièrement d'une rive à l'autre. Comme en 2019, la mesure a été initiée en 2020 par la rive droite (la limite glacier/moraine est très nette) jusqu'au torrent exutoire (*Figure 6*). La rive gauche est peu ou pas visible. L'interprétation est donc parfois subjective entre glacier et moraine.

En 2018, nous avons recalculé les fluctuations du front depuis 1983 à partir d'une méthode de perte de surface sur une distance donnée en rive droite. Cette perte n'est pas forcément représentative de la perte en rive gauche (impossible à estimer du fait de la couverture morainique). Avec cette méthodologie, nous calculons un recul de 10 m entre 2018 et 2020.

Depuis 1983 (maximum de la dernière avancée), le front a reculé de 240 m. Depuis 1990, ce recul est de 180 m. C'est un recul modéré par rapport à d'autres glaciers (*Figure 7*), à nouveau en raison de la forte couverture morainique de la rive gauche.

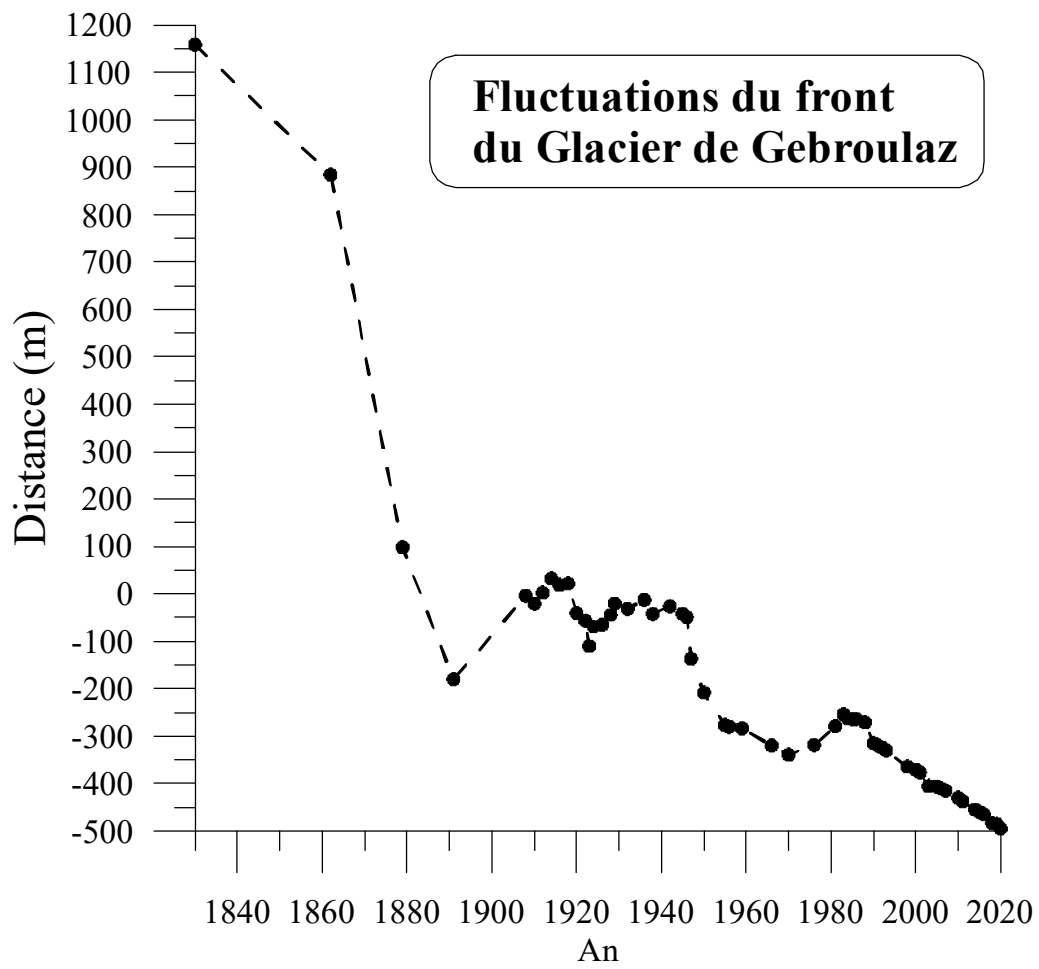


Figure 7 : Fluctuations de longueur du glacier de Gébroulaz depuis 1830.

## VI. Conclusions

Malgré les difficultés de la crise sanitaire, nous avons pu en 2020 réaliser l'intégralité des observations sur le Glacier de Gébroulaz, grâce aux soutiens de nos tutelles (CNRS et Univ. Grenoble Alpes).

Nos observations montrent que l'année 2019/2020 se caractérise par un bilan de masse peu négatif (-0.43 m d'eau), ou en tout cas bien moins négatif que la série très déficitaire observée depuis 2003 (moyenne des bilans de masse 2003-2020 = -1.06 m d'eau). Depuis 1994, la moyenne des bilans de masse est de -0.77 m d'eau. Ce bilan peu déficitaire est dû à une forte accumulation hivernale qui a protégé le glacier de la fonte très tardivement en saison. Au mois de juillet, nous observions encore de la neige hivernale encore sur toute la surface du glacier.

Si on analyse les pertes de masse du glacier sur le siècle, on note que le glacier perd de la masse continuellement depuis le milieu des années 80 et que cette perte de masse s'accélère encore. En effet, 9 des 10 années les plus négatives depuis 1985 se situent après 2003. Ces observations sont également caractéristiques des autres glaciers suivis dans les Alpes, que ce soit dans le Massif du Mont-Blanc ou dans le massif des Grandes Rousses. Gébroulaz a perdu une lame d'eau de 34.8 m depuis 1907 sur l'ensemble de sa surface. Nous avons commandé à la société SINTEGRA la restitution d'images LiDAR afin de recalibrer ces observations de bilan de masse du glacier, le dernier bilan géodésique du glacier datant de 2012.

Les observations du glacier de Gébroulaz sont essentielles dans le cadre des recherches sur les relations glaciers-climat et ce glacier fait partie d'un *Service d'Observation* national (GLACIOCLIM), reconnu par l'Institut National des Sciences de l'Univers (du CNRS) et le Ministère de la Recherche (<http://glacioclim.osug.fr>) et constitue l'une des plus longues séries d'observations dans les Alpes.

Le glacier de Gébroulaz est également intégré dans la base de données internationale du WGMS (World Glacier Monitoring Service de l'UNESCO) ainsi que dans le réseau CRYONET, programme du Global Cryosphere Watch (Organisation Météorologique Mondiale). Il fait partie aussi de la base de données de l'ONERC (Observatoire National sur les Effets du Réchauffement Climatique).

Le soutien du Parc de la Vanoise est indispensable à ce suivi récurrent du glacier et nous tenons à remercier le Parc pour son engagement auprès de l'IGE depuis de nombreuses années. Nous espérons pouvoir présenter ces travaux au cours de différentes manifestations organisées par le Parc de la Vanoise en 2021, celles de 2020 ayant été annulées.

*A Saint Martin d'Hères, IGE, 12 décembre 2020*

***Delphine SIX, Christian VINCENT et Olivier LAARMAN***

## ANNEXE I : Vitesses mesurées sur les profils transversaux

Les vitesses sont calculées à partir des relevés topographiques de pierres placées chaque année sur les mêmes profils transversaux (la méthode de mesure est similaire à celle adoptée par les Eaux et Forêts). Dans le tableau ci-dessous, depuis 1983, nous avons reporté non pas les valeurs moyennes des vitesses en surface mais celles des vitesses au centre du glacier (donc les vitesses maximales mesurées).

Date	Vitesses au centre du glacier				
	Profil Polset	Profil Pecllet	Profil SS'	Profil sup.	Profil inf.
12.08.1983					
21.08.1984				12.8 m/an	9.0 m/an
25.10.1985				11.0 m/an	7.6 m/an
20.08.1986				10.8 m/an	6.6 m/an
24.08.1988				8.4 m/an (sur 2 ans)	5.7 m/an (sur 2 ans)
01.09.1989				7.4 m/an	3.8 m/an
01.09.1990				6.7 m/an	4.4 m/an
30.08.1991				6.1 m/an	2.3 m/an
20.08.1992				5.4 m/an	2.1 m/an
17.08.1993				5.0 m/an	1.5 m/an
11.08.1994				5.5 m/an	1.5 m/an
17.08.1995			6.9 m/an	5.5 m/an	1.4 m/an
05.09.1996			7.7 m/an	5.5 m/an	0.8 m/an
02.09.1997			7.3 m/an	5.0 m/an	0.3 m/an
1.09.1998			7.8 m/an	5.2 m/an	1.1 m/an
31.08.1999			7.9 m/an	4.9 m/an	
24.08.2000			7.9 m/an	4.5 m/an	
28.08.2001			7.7 m/an	5.3 m/an	
21.08.2002			8.4 m/an	5.6 m/an	
27.08.2003			7.8 m/an	4.9 m/an	lit rocheux
17.08.2004			6.5 m/an	4.4 m/an	lit rocheux
9.08.2005			6.5 m/an	4.0 m/an	rocher
19.08.2006			6.1 m/an	4.1 m/an	rocher
14.08.2007			6.2 m/an	3.5 m/an	rocher
27.08.2008	28.0 m/an	20.7 m/an	6.3 m/an	2.7 m/an	rocher
31.08.2009	27.5 m/an	19.0 m/an	6.0 m/an	2.5 m/an	rocher
10.08.2010	26.2 m/an	16.7 m/an	5.2 m/an	Non mesurable	rocher
23.08.2011	27.4 m/an	17.1 m/an	5.0 m/an	2.5 m/an	rocher
14.08.2012	27.0 m/an	17.5 m/an	4.7 m/an	2.2 m/an	rocher
20.08.2013	24.8 m/an	14.8 m/an	4.5 m/an	2.0 m/an	rocher
25.08.2014	Non mesurée	16.2 m/an	3.8 m/an	1.4 m/an	rocher
26.08.2015	Balises trop éloignées du profil	15.3 m/an	3.2 m/an	1.0 m/an	rocher
01.09.2016			3.1 m/an		rocher
23.08.2017	/	15.2 m/an	2.1 m/an	0.8 m/an	rocher
26.09.2018	23.4 m/an	13.9 m/an	1.9 m/an	0.4 m/an	rocher
09.09.2019	21.7 m/an	12.1 m/an	1.9 m/an	0.3 m/an	rocher
26.08.2020	22.7 m/an	/	1.7 m/an	/	rocher

**ANNEXE II : Variations du front de 1983 (m) à 2019, à partir d'une référence correspondant au front de 1911 environ.**

1983	-254,4
1984	-263,0
1985	- 263,7
1986	263,7
1988	-271,0
1990	-315,2
1991	-319,1
1992	-324,2
1993	-329,9
1998	-364,5
2000	-370,7
2001	-376,5
2003	-405,6
2005	-406,2
2006	-410,61
2007	-415
2010	-430
2011	-437,5
2014	-455,2
2015	-460
2016	-465
2017	/
2018	-484
2019	-485
2020	-495

## ANNEXE III: Variations des épaisseurs aux profils transversaux

### Profils Peclet et Polset :

Date	Altitude Peclet NGF (m)	Altitude Polset NGF (m)
14.08.2007	2851.8	3001.7
27.08.2008	2850.3	3000.7
31.08.2009	2848.0	2999.0
10.08.2010	2847.2	2999.5
23.08.2011	2845.7	2998.8
14.08.2012	2844.2	2997.6
20.08.2013	2843.2	2998.0
25.08.2014		2999.3 (neige)
26.09.2015	2840.0	2997.6
01.09.2016	2839.3	2997.3
23.08.2017	2837.6	2996.7
26.09.2018	2835.5	2994.4
09.09.2019	2833.6	2993.5
26.08.2020	2832.3	2992.8

### Profil SS':

Date	Altitude Eaux et Forêts (m)	Altitude NGF (m)
1953	2778.0	2773.3
1955	2777.7	2773.0
1959	2776.7	2772.0
1966	2777.0	2772.3
1986 (photogrammétrie)	2776.4	2771.7
17.08.1993	2767.2	2762.4
11.08.1994	2766.5	2761.8
17.08.1995	2766.1	2761.4
05.09.1996	2765.6	2760.9
02.09.1997	2764.9	2760.2
01.09.1998	2762.1	2757.4
31.08.1999	2761.6	2756.9
24.08.2000	2760.5	2755.8
28.08.2001	2759.65	2754.95
21.08.2002	2758.6	2753.9
27.08.2003	2755.7	2751.0
16.08.2004	2754.4	2749.7
09.08.2005	2751.7	2747.0
18.08.2006	2749.8	2745.1
14.08.2007	2747.4	2742.7
27.08.2008	2746.0	2741.3
31.08.2009	2743.0	2738.3
10.08.2010	2741.8	2737.1
23.08.2011	2738.9	2734.3
14.08.2012	2737.2	2732.5
20.08.2013	2735.3	2730.6
25.08.2014	2733.8	2729.1
26.09.2015	2730.5	2725.8
01.09.2016	2728.7	2724.0
23.08.2017	2726.1	2721.4
26.09.2018	2723.7	2719.0
09.09.2019	2721.4	2716.7
26.08.2020	2719.8	2715.1

## Profil supérieur :

Le profil supérieur (2700 m environ) est mesuré depuis 1907 avec une large interruption entre 1966 et 1983.

Date	Altitude Eaux et Forêts (m)	Altitude NGF (m)
12.08.1983	2713.1	2724.4
21.08.1984	2712.8	2724.1
25.10.1985	2712.3	2723.6
20.08.1986	2712.3	2723.6
1987		
25.08.1988	2709.2	2720.5
01.09.1989	2707.9	2719.2
01.09.1990	2707.2	2718.5
30.08.1991	2705.1	2716.4
20.08.1992	2704.5	2715.8
17.08.1993	2700.3	2711.6
11.08.1994	2700.4	2711.7
17.08.1995	2699.1	2710.4
05.09.1996	2697.3	2708.6
02.09.1997	2696.3	2707.6
01.09.1998	2693.9	2705.2
31.08.1999	2692.9	2704.2
24.08.2000	2691.6	2702.9
28.08.2001	2690.7	2702.0
21.08.2002	2688.5	2699.8
27.08.2003	2685.6	2696.9
16.08.2004	2684.1	2695.4
09.08.2005	2681.5	2692.8
18.08.2006	2678.9	2690.2
14.08.2007	2676.6	2687.9
27.08.2008	2674.2	2685.5
31.08.2009	2671.4	2682.7
10.08.2010	2669.7	2681.0
23.08.2011	2666.7	2678.0
14.08.2012	2664.6	2675.9
20.08.2013	2662.2	2673.5
25.08.2014	2660.2	2671.5
26.08.2015	2656.8	2668.1
01.09.2016	2654.5	2665.8
23.08.2017	2651.7	2663.0
26.09.2018	2649.2	2660.5
09.09.2019	2646.5	2657.8
26.08.2020	2644.5	2655.8

**Profil inférieur:**

Date	Altitude Eaux et Forêts	Altitude NGF
12.08.1983	2610.6	2622.2
21.08.1984	2610.1	2621.8
25.10.1985	2609.3	2620.9
20.08.1986	2608.3	2619.9
1987		
25.08.1988	2605.5	2617.2
01.09.1989	2603.2	2614.9
01.09.1990	2600.7	2612.3
30.08.1991	2598.3	2609.9
20.08.1992	2595.9	2607.5
17.08.1993	2594.6	2606.2
11.08.1994	2592.7	2604.3
17.08.1995	2592.3	2604.0
05.09.1996	2590.5	2601.6
02.09.1997	2589.8	2601.0
01.09.1998	2588.4	2600.1
28.08.2001	2586.2	2597.9
21.08.2002	2586.0	2597.7 déglacé

## ANNEXE IV : Coordonnées des stations topographiques (Lambert III)

Correction Lambert: +90 mm/km .Réduction au niveau de la mer et correction Lambert: -0.30 m/km (à 2500m)  
Coordonnées recalculées en 2003.

Point	Coordonnées	Gisements	Observations
IGN 20 Sommet Pecllet	936275.54 340030.87 3561.9		
106	936979.55 341405.76 2941.33		
140 (S') Profil SS' RG	935938.78 342354.55 2808.46 (sol) 2809.52 (embase)	Profil: 93.295 gr 50: 77.779 gr	Pilier LGGE dist. d'application du profil: entre 200 et 600 m de 140. A 210.89 m de 40.
40 (S) (août 1993)			marque peinture spit. bloc <b>instable (1.2 m /an !)</b>
240 (S) (septembre 2000)			marque peinture et spit. Même repère que 40.
130 (30 b) Profil supérieur RG (Distance d'application du profil: 204 à 574 m de 30b)	935890.86 342796.49 2785.66 (sol) 2786.66 (embase)	profil: 87.394 gr	Pilier LGGE dist. d'application du profil: entre 204 et 574 m de la station 130. A 129.65 m de 30.
230	935889.43 342795.68 2787.04		Plaquette LGGE
30 Profil supérieur			station disparue vers 1993 (bloc)
225(25b) Profil inférieur RG	935701.20 343433.44 2667.29 (embase)	Profil: 104.906 gr	station 125 disparue en 1999 dist d'application: entre 191.85 et 331.85 m de la station 225
25 Profil inférieur RD	936429.95 343377.16 2688.53		
2	936031.07 343689.61 2581.21		Bâche Cemagref
Station front n°85 (moraine de 1985) Plaquette	935932.67 343518.90 2588.70		XYZ controlées en 2020
Station crête 2003 N°82	935748.35 342126.59 3007.62		Plaquette
Station 50	936777.26 342659.72 2839.35		Repère métallique LGGE
Profil 50 Pecllet RD	936664.03 341663.75		Installé en 2007 Longueur du profil : 230 m
RG	936444.07 341596.64		
Profil 60 Polset RD	936895.85 340900.19		Installé en 2007 (sur le plateau vers 3000 m) Longueur du profil : 168 m
RG	936727.92 340896.87		
Plaquette Col	935748.350 342126.590		Z= 3007.620
Vis Col	935733.929 342151.654		Z = <del>3010.320</del> (coord. recalculées en 2017) 3010.68 (corrigées en 2018)

## ANNEXE V: Coordonnées des extrémités des profils

	Latitude	longitude
Profil sup RD	45°18'25.761	6°37'41.536
Profil sup RG	45°18'24.012	6°37'24.723
Profil Suprême RD	45°18'09.709	6°37'44.118
Profil Suprême RG	45°18'09.021	6°37'25.776
Profil Pecllet RD	45°17'45.096	6°37'48.182
Profil Pecllet RG	45°17'43.297	6°37'37.941
Profil Polset RD (vers 3000 m)	45°17'20.008	6°37'56.978
Profil Polset RG	45°17'20.184	6°37'49.275

## ANNEXE VI: Coordonnées des balises d'ablation

Balise 1	45°17'35.8	6°37'42.0
Balise 2	45°17'38.6	6°37'44.7
Balise 3	45°17'41.4	6°37'48.5
Balise 4	45°17'45.4	6°37'48.1
Balise 5	45°17'44.5	6°37'43.9
Balise 6	45°17'41.5	6°37'35.8
Balise 7	45°17'53.5	6°37'47.5
Balise 8	45°17'53.4	6°37'42.1
Balise 9	45°17'54.1	6°37'34.3
Balise 10	45°17'53.7	6°37'28.9
Balise 11	45°18'08.4	6°37'44.6
Balise 12	45°18'08.9	6°37'40.6
Balise 13	45°18'08.6	6°37'33.2
Balise 14	45°18'08.4	6°37'25.9
Balise 15	45°18'16.6	6°37'28.6
Balise 16	45°18'17.7	6°37'35.4
Balise 17	45°18'18.3	6°37'39.4
Balise 18	45°18'20.8	6°37'36.4
Balise 19	45°18'23.7	6°37'36.0
Balise 20	45°18'27.7	6°37'33.1
Balise 21	45°17'39.6	6°37'32.5
Balise 22	45°17'20.0	6°37'56.9
Balise 23	45°17'20.1	6°37'53.8
Balise 24	45°17'20.1	6°37'51.6
Balise 25	45°17'20.2	6°37'49.3

## ANNEXE VII: Coordonnées des sites de mesures en zone d'accumulation

Site	11 vers col de Gébroulaz 3425 m	3 Sous le Dôme de Polset 3410 m	4 Combe de Polset  3220 m
Position Coord. Lambert	936860 339630	937580 339780	937370 340310
WGS 84	45°16'36.5" 6°37'51.0"	45°16'42.6" 6°38'25.6"	45°16'59.1" 6°38'19.2"

Site	5 Plateau  3020 m	1 Pied du Rognon 3100 m	6 Combe de Peclet 3070 m
Position Lambert	936900 340870		936846 340600
WGS 84	45°17'19.0" 6°37'57.1"	45°17'07.3" 6°38'11.7"	45°17'10.4 6°37'54.0

## ANNEXE VIII: Coordonnées des secteurs utilisés pour le calcul des bilans

Coordonnées origine	936200 341500
Taille de la maille	200 m
Largeur du secteur (X)	1000 m
Longueur du secteur (Y)	1400 m
Observations	Zone d'ablation

## ANNEXE IX : Points d'appui photogrammétriques

106	936979.6796	341405.7709	2941.2890 station
2	936031.0663	343689.6126	2581.2137 bache
225	935701.1221	343433.3981	2679.3117 plaquette
3	937106.7542	342417.5449	2847.1212 bache
5	935900.2621	342727.2263	2795.8325 bache
10	935792.2238	341665.7769	3071.9600 bache
2	936031.0663	343689.6126	2581.2137 bache (vers le front)
6	936983.9099	341390.0021	2941.3592 bache
68	935771.9501	341849.5118	3026.9468 croix peinture sur la crête
69	935963.6311	342445.1215	2797.8185 croix peinture vers station 140
85	935932.6765	343518.9011	2588.6967 croix peinture au front (moraine 1985)
7903	936222.7983	341739.2960	2819.6906 croix peinture sur un rocher, sur glacier (attention au déplacement). (mesuré en aout 2003).
80	936450.2032	343427.8829	2667.2070 croix peinture proche de la station 25
81	935841.8493	341605.2317	3058.5356 gazex (sommet, centre)
225	935701.2002	343433.4410	2667.2881 plaquette
130	935890.8613	342796.4897	2785.66 pilier, altitude/sol
140	935938.7759	342354.5503	2808.4643 pilier , altitude /sol
230	935889.4313	342795.6731	2787.0446 plaquette
25	936429.9527	343377.1631	2688.5311 station, marque peinture
82	935748.3295	342126.5050	3007.6174 station (plaquette) sur la crête
120	936275.54	340030.87	3561.90 Point géodésique IGN, sommet de Pécllet.
73	937326.836	341120.137	2906.10 station
30	936580.758	342934.912	2750.67 ancienne station (disparue)
51	936246.997	340008.000	3554.281 rocher proche de Pecllet
52	936236.401	339996.700	3550.694 rocher proche de Pecllet
53	936306.128	339964.583	3513.467 croix
54	936330.841	339960.418	3507.000 rocher proche de Pecllet
57	936406.913	339885.634	3499.825
58	936406.703	339881.207	3499.857
59	936349.555	339877.668	3454.281 croix
60	936430.468	339260.162	3376.072
62	936748.200	339343.902	3506.899 gendarme
63	936987.254	339455.153	3488.426
64	937018.671	339455.262	3499.108 gendarme
65	937096.106	339475.643	3531.039 Polset, sommet
8	937523.517	339568.998	3491.832 bache
7	937478.291	340302.934	3264.027 bache
74	937804.465	341713.753	2522.401 extrémité bloc
75	937893.628	341694.296	2481.619 extrémité bloc
76	937909.559	341629.292	2486.252 croix peinture
77	938380.166	341463.118	2438.119 croix peinture (lac)
78	938396.189	341471.310	2437.170 sommet bloc
70	936801.506	342204.877	2803.565 croix peinture
71	936803.516	342173.408	2808.284
72	936931.849	341958.429	2823.835
14	936236.829	343405.742	2617.139 cairn
13	936137.606	343637.970	2592.434 sommet bloc
12	935745.796	343465.613	2627.400 sommet bloc
11	935707.716	343426.915	2665.114 sommet bloc
20	935947.186	342398.753	2804.343 sommet rocher
21	935937.767	342354.956	2807.148 sommet rocher
41	935930.420	342340.408	2816.082 sommet rocher
86	935861.8815	341000.3309	3089.2627 coin SO embase pylone
87	935864.7875	340999.7402	3089.5120 coin NE embase pylone
88	935871.1369	340987.2525	3097.2470 plateforme bois, gare arrivée télésiège
89	935876.9785	340993.3687	3097.1206 idem
90	936868.5691	342339.1410	2767.0261 point altimétrique (rocher plat)
91	936724.6453	342752.8631	2787.5992 idem
92	936450.3192	343427.8410	2667.1647 croix peinture (2003)
93	935836.7875	343913.2331	2557.9170 croix peinture, aval du front, (2003)

## ANNEXE X : Considérations sur le réseau géodésique

Les profils transversaux relevés par les Eaux et Forêts depuis 1907 et repris depuis 1983 par le LGGE sont indiqués sur la figure n°1:

- le profil SS' ou profil 40-40b
- le profil supérieur ou profil 30-30b
- le profil inférieur ou profil 25-25b

En 2007 ont été rajoutés deux nouveaux profils :

- le profil de Pecllet ou profil 50-50b
- le profil Polset ou profil 60-60b

De 1983 à 1993, ces profils étaient relevés à partir de stations topographiques en rive droite. Depuis 1994, des piliers ont été installés en rive gauche du glacier pour des raisons de commodité et de stabilité (piliers 40b, 30b, et 25 b, sur la figure n°1).

En 2003, le réseau de triangulation a été totalement revu à l'aide de récepteurs géodésiques GPS, par la méthode différentielle. En premier lieu, les stations 106 (sommet de la moraine) et 225 (extrémité du profil inférieur) ont été rattachées au réseau REGAL (réseau permanent de stations GPS dans les Alpes, géré par l'Observatoire des Sciences de l'Univers). La station permanente la plus proche est localisée à Modane. Ainsi, nous avons déterminé avec une précision centimétrique les coordonnées de ces stations dans le système IGN national Lambert III. Ces coordonnées indiquent des écarts de 20 à 80 cm en planimétrie avec les coordonnées antérieures. Ces différences ont deux causes : d'abord la méthode de triangulation entreprise en 1989 par des moyens topographiques classiques ne permettaient pas d'espérer un positionnement absolu meilleur que 30 cm dans le système Lambert. En effet, la triangulation avait été effectuée du sommet de Pecllet (repère géodésique IGN) en visant d'autres repères géodésiques (Dent Parrachée, Chanrossa) non matérialisé préalablement. Les angles de référence (gisements) ont donc été déterminés avec une incertitude de quelques milligrades. La deuxième cause de l'imprécision de l'ancienne triangulation dans le système Lambert provient de l'instabilité des stations topographiques en rive droite. Nous avons notamment relevé des déplacements de plusieurs cm par an des stations 30 et 40. Etant donné que les opérations de triangulation se sont déroulées sur plusieurs années, ces déplacements ont directement altéré la précision du réseau de triangulation, et en particulier lors du transfert des stations topographiques en rive gauche.

Néanmoins, ces imprécisions sur les coordonnées antérieures n'ont pas entaché la précision des mesures relatives par rapport aux stations de référence. Le problème de stabilité des stations sur les moraines de la rive droite ont été résolus lorsque nous avons déplacé, en 1994, toutes les stations en rive gauche (piliers 40b, 30b, et 25b). Seules les coordonnées absolues (par rapport au système national) sont entachées d'incertitude. Le nouveau réseau géodésique de 2003 autour du glacier de Gébroulaz répond à deux critères :

- il est désormais rattaché avec une précision centimétrique au réseau IGN Lambert III. Cela présente l'avantage de travailler directement dans le système WGS84 (système international utilisé pour les récepteurs GPS) en appliquant seulement une transformation standard entre le système WGS84 et la projection Lambert.

- nous avons voulu conserver un système altimétrique le plus proche possible du réseau antérieur afin d'assurer la comparaison des travaux topographiques futurs avec les travaux antérieurs, et notamment les travaux photogrammétriques de 1986. Nous avons donc choisi un système qui minimise les écarts altimétriques obtenus.

Finalement, le réseau planimétrique est celui de la projection Lambert III, et le réseau altimétrique est local (avec un écart d'environ 50 cm au réseau de nivellement NGF). Toutes les coordonnées des balises implantées en 2001 ont été recalculées (2001 à 2003) dans le nouveau système. Les coordonnées des pierres mises en place en 2002 sur les profils transversaux (SS' et supérieur) ont également été recalculées. Les valeurs de vitesses ne sont donc pas affectées par ce changement de système de coordonnées. Seules les altitudes des profils transversaux sont affectées (<30 cm). Les incidences sur la comparaison avec les travaux photogrammétriques de 1986 sont quasiment négligeables étant donnée la précision de la restitution photogrammétrique (écart type de 50 cm).

Enfin, pour la comparaison des altitudes obtenues sur les profils avec celles des Eaux et Forêts mesurées entre 1906 et 1965, nous rappelons qu'il est nécessaire de faire les translations altimétriques suivantes :

- nous devons retrancher 11.65 m pour obtenir l'altitude des Eaux et Forêts au profil inférieur.
- nous devons retrancher 11.30 m pour obtenir l'altitude des Eaux et Forêts au profil supérieur.
- nous devons ajouter 4.73 m pour obtenir l'altitude des Eaux et Forêts au profil SS'.

## ANNEXE XI: Bilans et vitesses mesurées à partir des balises

### Zone d'accumulation – Balises de 2020

point	date	x	y	z	haut. enf.	neige m	dens neig	bilan equiv. eau	vites hor.	vites pente
		m	m	m	m	m			m/an	m/an
119	14.10.19	937160.00	340510.00	3130.00	0.01	0.00	0.00			
								1.48	0.0	0.0
120	3. 6.20	0.00	0.00	0.00	3.03	3.03	0.49			
								-1.25	0.0	0.0
120	26. 8.20	0.00	0.00	0.00	0.42	0.42	0.57			
								-0.15	0.0	0.0
120	20.10.20	0.00	0.00	0.00	0.15	0.15	0.58			
319	14.10.19	937580.00	339780.00	3390.00	0.01	0.00	0.00			
								1.89	0.0	0.0
320	3. 6.20	0.00	0.00	0.00	3.96	3.96	0.48			
								-1.09	0.0	0.0
320	26. 8.20	0.00	0.00	0.00	1.42	1.42	0.57			
								-0.11	0.0	0.0
320	20.10.20	0.00	0.00	0.00	1.20	1.20	0.58			
419	14.10.19	937370.00	340310.00	3200.00	0.01	0.00	0.00			
								2.01	0.0	0.0
420	3. 6.20	0.00	0.00	0.00	4.12	4.12	0.49			
								-1.01	0.0	0.0
420	26. 8.20	0.00	0.00	0.00	1.77	1.77	0.57			
								-0.12	0.0	0.0
420	20.10.20	0.00	0.00	0.00	1.50	1.50	0.59			
619	14.10.19	936846.00	340600.00	3070.00	0.01	0.00	0.00			
								2.11	0.0	0.0
620	3. 6.20	0.00	0.00	0.00	4.00	4.00	0.53			
								-1.45	0.0	0.0
620	26. 8.20	0.00	0.00	0.00	1.17	1.17	0.57			
								-0.19	0.0	0.0
620	20.10.20	0.00	0.00	0.00	0.82	0.82	0.58			
1119	14.10.19	936860.00	339630.00	3425.00	0.01	0.00	0.00			
								2.66	0.0	0.0
1120	3. 6.20	0.00	0.00	0.00	5.55	5.55	0.48			
								-0.90	0.0	0.0
1120	26. 8.20	0.00	0.00	0.00	3.10	3.10	0.57			
								-0.03	0.0	0.0
1120	20.10.20	0.00	0.00	0.00	3.00	3.00	0.58			

### Zone d'ablation – Balises de 2016

point	date	x	y	z	haut. enf.	neige m	dens neig	bilan equiv. eau	vites hor.	vites pente
		m	m	m	m	m			m/an	m/an

116	1.	9.16	936540.77	341369.92	2875.15	9.22	0.00	0.00											
116	30.	9.16	0.00	0.00	0.00	8.75	0.00	0.00	-0.42	0.0	0.0								
117	20.	4.17	0.00	0.00	0.00	12.09	3.20	0.42	1.47	0.0	0.0								
117	23.	8.17	936529.84	341384.50	2870.32	7.33	0.00	0.00	-2.75	18.6	19.0								
117	29.	9.17	936528.65	341385.96	2869.78	6.78	0.00	0.00	-0.49	18.6	18.6								
118	24.	4.18	0.00	0.00	0.00	9.63	2.85	0.42	1.20	0.0	0.0								
118	28.	8.18	0.00	0.00	0.00	4.73	0.00	0.00	-3.04	0.0	0.0								
118	26.	9.18	936518.89	341399.42	2864.61	3.90	0.00	0.00	-0.75	16.7	16.7								
119	1.	5.19	0.00	0.00	0.00	7.50	3.60	0.42	1.51	0.0	0.0								
119	9.	9.19	936510.27	341410.90	2860.45	1.92	0.00	0.00	-3.29	15.0	15.2								
119	14.	10.19	0.00	0.00	0.00	1.47	0.00	0.00	-0.40	0.0	0.0								
120	3.	6.20	0.00	0.00	0.00	3.09	1.62	0.51	0.83	0.0	0.0								
120	16.	7.20	0.00	0.00	0.00	1.47	0.00	0.00	-0.83	0.0	0.0								

216	1.	9.16	936596.80	341462.81	2874.53	8.68	0.00	0.00											
216	30.	9.16	0.00	0.00	0.00	8.35	0.00	0.00	-0.30	0.0	0.0								
217	20.	4.17	0.00	0.00	0.00	11.01	2.66	0.42	1.12	0.0	0.0								
217	23.	8.17	936586.03	341480.27	2868.56	6.83	0.00	0.00	-2.49	21.0	21.5								
217	29.	9.17	936584.86	341481.93	2868.12	6.43	0.00	0.00	-0.36	20.0	20.0								
218	24.	4.18	0.00	0.00	0.00	8.83	2.40	0.42	1.01	0.0	0.0								
218	28.	8.18	0.00	0.00	0.00	4.29	0.00	0.00	-2.93	0.0	0.0								
218	26.	9.18	936575.68	341497.68	2861.63	3.44	0.00	0.00	-0.76	18.3	18.4								
219	1.	5.19	0.00	0.00	0.00	6.11	2.67	0.42	1.12	0.0	0.0								
219	9.	9.19	936568.19	341510.96	2856.69	1.44	0.00	0.00	-2.92	15.9	16.2								
219	14.	10.19	0.00	0.00	0.00	0.90	0.00	0.00	-0.49	0.0	0.0								
220	3.	6.20	0.00	0.00	0.00	2.14	1.24	0.51	0.63	0.0	0.0								
220	16.	7.20	0.00	0.00	0.00	0.74	0.00	0.00	-0.78	0.0	0.0								

316	1.	9.16	936675.59	341551.29	2865.42	8.22	0.00	0.00											
316	30.	9.16	0.00	0.00	0.00	7.66	0.00	0.00	-0.50	0.0	0.0								
317	20.	4.17	0.00	0.00	0.00	9.95	2.29	0.42	0.96	0.0	0.0								
317	23.	8.17	936668.81	341567.73	2858.88	5.63	0.00	0.00	-2.79	18.2	18.8								
317	29.	9.17	936668.20	341569.43	2858.25	5.03	0.00	0.00	-0.54	17.8	17.8								
318	28.	8.18	0.00	0.00	0.00	3.14	0.00	0.00	-1.70	0.0	0.0								
									-0.69	15.4	15.8								

318	26.	9.18	936662.50	341583.64	2852.03	2.37	0.00	0.00			
416	1.	9.16	936659.95	341676.40	2837.31	8.46	0.00	0.00	-0.45	0.0	0.0
416	30.	9.16	0.00	0.00	0.00	7.96	0.00	0.00	0.63	0.0	0.0
417	20.	4.17	0.00	0.00	0.00	9.47	1.51	0.42	-2.72	13.4	13.7
417	23.	8.17	936657.30	341689.25	2832.34	5.64	0.00	0.00	-0.54	11.5	11.6
417	29.	9.17	936657.02	341690.38	2831.91	5.04	0.00	0.00	-1.32	0.0	0.0
418	28.	8.18	0.00	0.00	0.00	3.57	0.00	0.00	-0.76	10.0	10.2
418	26.	9.18	936655.80	341700.24	2827.53	2.73	0.00	0.00			
516	1.	9.16	936571.27	341643.06	2838.95	8.33	0.00	0.00	-0.51	0.0	0.0
516	30.	9.16	0.00	0.00	0.00	7.76	0.00	0.00	0.93	0.0	0.0
517	20.	4.17	0.00	0.00	0.00	9.98	2.22	0.42	-2.74	15.2	15.4
517	23.	8.17	936565.88	341656.88	2834.38	5.75	0.00	0.00	-0.38	14.0	14.0
517	29.	9.17	936565.49	341658.24	2834.06	5.33	0.00	0.00	-1.69	0.0	0.0
518	28.	8.18	0.00	0.00	0.00	3.45	0.00	0.00	-0.75	13.5	13.6
518	26.	9.18	936560.77	341670.76	2829.55	2.62	0.00	0.00	-1.98	11.4	11.5
519	9.	9.19	936557.00	341680.98	2825.78	0.42	0.00	0.00	-0.29	0.0	0.0
519	14.	10.19	0.00	0.00	0.00	0.10	0.00	0.00			
616	1.	9.16	936395.93	341540.85	2841.40	7.82	0.00	0.00	-0.57	0.0	0.0
616	30.	9.16	0.00	0.00	0.00	7.19	0.00	0.00	0.87	0.0	0.0
617	20.	4.17	0.00	0.00	0.00	9.27	2.08	0.42	-3.20	11.3	11.3
617	23.	8.17	936390.94	341550.70	2837.92	4.60	0.00	0.00	-0.54	9.4	10.2
617	29.	9.17	936390.49	341551.54	2837.73	4.00	0.00	0.00	-2.59	0.0	0.0
618	28.	8.18	0.00	0.00	0.00	1.12	0.00	0.00	-0.81	9.9	9.9
618	26.	9.18	936386.03	341560.27	2833.58	0.22	0.00	0.00			
716	1.	9.16	936616.84	341918.37	2799.61	7.66	0.00	0.00	-0.59	0.0	0.0
716	30.	9.16	0.00	0.00	0.00	7.00	0.00	0.00	0.54	0.0	0.0
717	20.	4.17	0.00	0.00	0.00	8.29	1.29	0.42	-3.84	6.8	6.9
717	23.	8.17	936616.51	341924.99	2794.72	3.34	0.00	0.00	-0.53	5.7	6.3
717	29.	9.17	936616.26	341925.51	2794.40	2.75	0.00	0.00	-1.93	0.0	0.0
718	28.	8.18	0.00	0.00	0.00	0.60	0.00	0.00			

816	1.	9.16	936514.48	341909.79	2793.70	9.15	0.00	0.00			
									-0.52	0.0	0.0
816	30.	9.16	0.00	0.00	0.00	8.57	0.00	0.00			
									1.13	0.0	0.0
817	20.	4.17	0.00	0.00	0.00	11.27	2.70	0.42			
									-2.62	8.2	8.3
817	23.	8.17	936513.51	341917.78	2790.69	6.92	0.00	0.00			
									-0.37	7.7	7.7
817	29.	9.17	936513.38	341918.54	2790.39	6.51	0.00	0.00			
									1.65	0.0	0.0
818	24.	4.18	0.00	0.00	0.00	10.43	3.92	0.42			
									-2.68	0.0	0.0
818	28.	8.18	0.00	0.00	0.00	5.36	0.00	0.00			
									-0.76	6.9	7.6
818	26.	9.18	936512.89	341925.39	2787.61	4.51	0.00	0.00			
									-1.93	6.0	6.0
819	9.	9.19	936512.29	341931.08	2784.64	2.36	0.00	0.00			
									-0.45	0.0	0.0
819	14.	10.19	0.00	0.00	0.00	1.86	0.00	0.00			
									1.49	0.0	0.0
820	3.	6.20	0.00	0.00	0.00	4.79	2.93	0.51			
									-2.20	5.7	5.8
820	26.	8.20	936512.09	341936.61	2782.83	1.08	0.00	0.00			
									-0.31	0.0	0.0
820	20.	10.20	0.00	0.00	0.00	0.74	0.00	0.00			

916	1.	9.16	936348.39	341923.64	2798.16	8.57	0.00	0.00			
									-0.45	0.0	0.0
916	30.	9.16	0.00	0.00	0.00	8.07	0.00	0.00			
									0.90	0.0	0.0
917	20.	4.17	0.00	0.00	0.00	10.22	2.15	0.42			
									-3.13	8.2	8.2
917	23.	8.17	936347.56	341931.60	2794.78	5.60	0.00	0.00			
									-0.47	6.4	6.8
917	29.	9.17	936347.55	341932.25	2794.49	5.08	0.00	0.00			
									-1.57	0.0	0.0
918	28.	8.18	0.00	0.00	0.00	3.34	0.00	0.00			
									-0.83	7.0	7.0
918	26.	9.18	936346.92	341939.20	2791.64	2.42	0.00	0.00			

1016	1.	9.16	936223.70	341899.66	2794.30	4.22	0.00	0.00			
									-0.53	0.0	0.0
1016	30.	9.16	0.00	0.00	0.00	3.63	0.00	0.00			
									1.11	0.0	0.0
1017	20.	4.17	0.00	0.00	0.00	6.27	2.64	0.42			
									-0.96	4.6	5.1
1017	23.	8.17	936223.04	341904.07	2792.30	3.79	0.00	0.00			
									-0.45	3.1	5.0
1017	29.	9.17	936222.93	341904.37	2792.20	3.29	0.00	0.00			

1116	1.	9.16	936527.25	342381.65	2721.30	8.34	0.00	0.00			
									-0.58	0.0	0.0
1116	30.	9.16	0.00	0.00	0.00	7.69	0.00	0.00			
									0.81	0.0	0.0
1117	20.	4.17	0.00	0.00	0.00	9.61	1.92	0.42			
									-3.87	2.0	2.0
1117	23.	8.17	936528.01	342383.40	2717.57	4.29	0.00	0.00			
									-0.58	1.5	4.7
1117	29.	9.17	936527.96	342383.54	2717.38	3.65	0.00	0.00			
									-2.11	0.0	0.0
1118	28.	8.18	0.00	0.00	0.00	1.30	0.00	0.00			
									-0.69	1.6	1.7
1118	26.	9.18	936528.54	342385.07	2714.06	0.53	0.00	0.00			

1216	1.	9.16	936460.88	342389.51	2726.58	8.42	0.00	0.00	-0.61	0.0	0.0
1216	30.	9.16	0.00	0.00	0.00	7.74	0.00	0.00	0.52	0.0	0.0
1217	20.	4.17	0.00	0.00	0.00	8.98	1.24	0.42	-3.57	2.2	2.2
1217	23.	8.17	936461.66	342391.53	2723.08	4.35	0.00	0.00	-0.59	3.3	4.7
1217	29.	9.17	936461.44	342391.79	2722.76	3.69	0.00	0.00	-1.79	0.0	0.0
1218	28.	8.18	0.00	0.00	0.00	1.70	0.00	0.00	-0.92	2.3	2.3
1218	26.	9.18	936462.23	342393.89	2720.32	0.68	0.00	0.00			
1316	1.	9.16	936291.76	342387.33	2722.76	5.77	0.00	0.00	-0.53	0.0	0.0
1316	30.	9.16	0.00	0.00	0.00	5.18	0.00	0.00	1.02	0.0	0.0
1317	20.	4.17	0.00	0.00	0.00	7.62	2.44	0.42	-2.76	2.1	2.2
1317	23.	8.17	936291.82	342389.38	2720.36	3.25	0.00	0.00	-0.51	2.9	4.7
1317	29.	9.17	936291.88	342389.66	2720.16	2.68	0.00	0.00	-1.31	0.0	0.0
1318	28.	8.18	0.00	0.00	0.00	1.22	0.00	0.00	-0.65	1.7	1.7
1318	26.	9.18	936292.03	342391.34	2717.87	0.50	0.00	0.00			
1616	1.	9.16	936326.85	342650.81	2697.81	8.35	0.00	0.00	-0.76	0.0	0.0
1616	30.	9.16	0.00	0.00	0.00	7.50	0.00	0.00	0.70	0.0	0.0
1617	20.	4.17	0.00	0.00	0.00	9.17	1.67	0.42	-3.49	1.0	1.3
1617	23.	8.17	936326.50	342651.69	2693.84	4.40	0.00	0.00	-0.56	2.1	5.5
1617	29.	9.17	936326.70	342651.77	2693.73	3.78	0.00	0.00	-1.80	0.0	0.0
1618	28.	8.18	0.00	0.00	0.00	1.78	0.00	0.00	-0.75	0.7	0.7
1618	26.	9.18	936326.60	342652.43	2690.84	0.95	0.00	0.00			
1716	1.	9.16	936414.33	342672.29	2692.88	8.27	0.00	0.00	-0.58	0.0	0.0
1716	30.	9.16	0.00	0.00	0.00	7.62	0.00	0.00	1.03	0.0	0.0
1717	20.	4.17	0.00	0.00	0.00	10.07	2.45	0.42	-3.44	0.8	1.0
1717	23.	8.17	936414.42	342673.06	2689.53	4.94	0.00	0.00	-0.35	1.4	3.0
1717	29.	9.17	936414.39	342673.20	2689.41	4.55	0.00	0.00	-2.07	0.0	0.0
1718	28.	8.18	0.00	0.00	0.00	2.25	0.00	0.00	-0.94	0.5	0.5
1718	26.	9.18	936414.69	342673.64	2685.95	1.20	0.00	0.00			
1816	1.	9.16	936350.05	342754.73	2677.33	8.30	0.00	0.00	-0.67	0.0	0.0
1816	30.	9.16	0.00	0.00	0.00	7.55	0.00	0.00	1.13	0.0	0.0

1817	20.	4.17	0.00	0.00	0.00	10.23	2.68	0.42			
									-3.54	0.8	1.2
1817	23.	8.17	936350.19	342755.49	2673.75	4.87	0.00	0.00			
									-0.41	0.6	1.9
1817	29.	9.17	936350.24	342755.53	2673.47	4.41	0.00	0.00			
									-2.37	0.0	0.0
1818	28.	8.18	0.00	0.00	0.00	1.78	0.00	0.00			
									-0.96	0.5	0.5
1818	26.	9.18	936350.71	342755.77	2669.69	0.71	0.00	0.00			
-----											
1916	1.	9.16	936337.18	342837.61	2661.17	8.00	0.00	0.00			
									-0.63	0.0	0.0
1916	30.	9.16	0.00	0.00	0.00	7.30	0.00	0.00			
									0.80	0.0	0.0
1917	20.	4.17	0.00	0.00	0.00	9.21	1.91	0.42			
									-3.89	0.7	1.1
1917	23.	8.17	936337.10	342838.30	2656.94	3.87	0.00	0.00			
									-0.64	0.3	3.5
1917	29.	9.17	936337.13	342838.29	2656.58	3.16	0.00	0.00			
-----											
2016	1.	9.16	936301.40	342898.09	2651.52	7.93	0.00	0.00			
									-0.63	0.0	0.0
2016	30.	9.16	0.00	0.00	0.00	7.23	0.00	0.00			
									0.76	0.0	0.0
2017	20.	4.17	0.00	0.00	0.00	9.03	1.80	0.42			
									-3.39	0.8	1.1
2017	23.	8.17	936301.75	342898.76	2647.86	4.30	0.00	0.00			
									-0.65	0.9	4.3
2017	29.	9.17	936301.82	342898.71	2647.56	3.58	0.00	0.00			
									-2.73	0.0	0.0
2018	28.	8.18	0.00	0.00	0.00	0.55	0.00	0.00			
-----											

### Zone d'ablation – Balises de 2017

point	date	x	y	z	haut.	neige	dens	bilan	vites	vites	
		m	m	m	m	m	neig	equiv.	hor.	pente	
					m	m	!eau	!m/an	!m/an	!	
2517	29.	9.17	936728.76	340896.22	2996.99	8.49	0.00	0.00			
									1.49	0.0	0.0
2518	24.	4.18	0.00	0.00	0.00	12.03	3.54	0.42			
									-2.45	0.0	0.0
2518	28.	8.18	0.00	0.00	0.00	7.42	0.00	0.00			
									-0.90	21.7	21.7
2518	26.	9.18	936730.32	340917.75	2992.32	6.42	0.00	0.00			
									1.36	0.0	0.0
2519	1.	5.19	0.00	0.00	0.00	9.67	3.25	0.42			
									-2.56	20.6	20.7
2519	9.	9.19	936732.01	340937.37	2989.25	5.09	0.00	0.00			
									-0.46	0.0	0.0
2519	14.10	19	0.00	0.00	0.00	4.58	0.00	0.00			
									1.30	0.0	0.0
2520	3.	6.20	0.00	0.00	0.00	7.13	2.55	0.51			
									-0.59	0.0	0.0
2520	16.	7.20	0.00	0.00	0.00	5.93	1.35	0.53			
									-1.24	21.6	21.6
2520	26.	8.20	936734.11	340958.07	2987.08	4.00	0.00	0.00			
									-0.36	0.0	0.0
2520	20.10	20	0.00	0.00	0.00	3.60	0.00	0.00			
-----											

2417	29. 9.17	936779.59	340897.53	2995.23	8.43	0.00	0.00				
2418	24. 4.18	0.00	0.00	0.00	11.20	2.77	0.42	1.16	0.0	0.0	
2418	28. 8.18	0.00	0.00	0.00	6.84	0.00	0.00	-2.59	0.0	0.0	
2418	26. 9.18	936780.98	340920.53	2989.61	5.95	0.00	0.00	-0.80	23.2	23.2	
2419	1. 5.19	0.00	0.00	0.00	9.21	3.26	0.42	1.37	0.0	0.0	
2419	9. 9.19	936782.70	340941.25	2985.85	4.49	0.00	0.00	-2.68	21.7	21.9	
2419	14.10.19	0.00	0.00	0.00	3.95	0.00	0.00	-0.49	0.0	0.0	
2420	3. 6.20	0.00	0.00	0.00	5.59	1.64	0.51	0.84	0.0	0.0	
2420	16. 7.20	0.00	0.00	0.00	4.55	0.60	0.53	-0.52	0.0	0.0	
2420	26. 8.20	936784.71	340962.96	2982.06	2.65	0.00	0.00	-1.49	22.6	22.6	
2420	20.10.20	0.00	0.00	0.00	2.15	0.00	0.00	-0.45	0.0	0.0	
-----											
2317	29. 9.17	936827.29	340899.60	2996.13	8.49	0.00	0.00				
2318	24. 4.18	0.00	0.00	0.00	11.22	2.73	0.42	1.15	0.0	0.0	
2318	28. 8.18	0.00	0.00	0.00	6.95	0.00	0.00	-2.53	0.0	0.0	
2318	26. 9.18	936828.93	340923.10	2989.76	6.11	0.00	0.00	-0.76	23.7	23.7	
2319	1. 5.19	0.00	0.00	0.00	9.16	3.05	0.42	1.28	0.0	0.0	
2319	9. 9.19	936830.58	340943.86	2985.13	4.77	0.00	0.00	-2.49	21.8	22.1	
2319	14.10.19	0.00	0.00	0.00	4.35	0.00	0.00	-0.38	0.0	0.0	
2320	3. 6.20	0.00	0.00	0.00	6.28	1.93	0.51	0.98	0.0	0.0	
2320	16. 7.20	0.00	0.00	0.00	5.05	0.70	0.53	-0.61	0.0	0.0	
2320	26. 8.20	936832.57	340965.87	2980.47	3.19	0.00	0.00	-1.41	22.9	23.0	
2320	20.10.20	0.00	0.00	0.00	2.66	0.00	0.00	-0.48	0.0	0.0	
-----											
2217	29. 9.17	936895.96	340903.78	2997.74	8.56	0.00	0.00				
2218	24. 4.18	0.00	0.00	0.00	10.96	2.40	0.42	1.01	0.0	0.0	
2218	28. 8.18	0.00	0.00	0.00	6.27	0.00	0.00	-3.07	0.0	0.0	
2218	26. 9.18	936897.31	340926.11	2989.64	5.34	0.00	0.00	-0.84	22.5	22.6	
2219	1. 5.19	0.00	0.00	0.00	7.89	2.55	0.42	1.07	0.0	0.0	
2219	9. 9.19	936898.68	340945.88	2983.77	3.33	0.00	0.00	-2.88	20.7	21.1	
2219	14.10.19	0.00	0.00	0.00	3.00	0.00	0.00	-0.30	0.0	0.0	
2220	3. 6.20	0.00	0.00	0.00	4.36	1.36	0.51	0.69	0.0	0.0	
2220	26. 8.20	936899.85	340966.45	2979.03	2.10	0.00	0.00	-1.50	21.4	21.7	
2220	20.10.20	0.00	0.00	0.00	1.70	0.00	0.00	-0.36	0.0	0.0	
-----											

2017	29. 9.17	936302.07	342890.19	2649.03	10.00	0.00	0.00	1.50	0.0	0.0
2018	24. 4.18	0.00	0.00	0.00	13.42	3.42	0.44	-4.25	0.0	0.0
2018	28. 8.18	0.00	0.00	0.00	6.95	0.00	0.00	-1.01	0.4	3.6
2018	26. 9.18	936302.28	342890.51	2645.01	5.83	0.00	0.00	1.45	0.0	0.0
2019	1. 5.19	0.00	0.00	0.00	9.12	3.29	0.44	-5.22	0.3	0.3
2019	9. 9.19	936302.58	342890.62	2640.90	1.64	0.00	0.00	-0.61	0.0	0.0
2019	14.10.19	0.00	0.00	0.00	0.96	0.00	0.00	1.26	0.0	0.0
2020	3. 6.20	0.00	0.00	0.00	3.44	2.48	0.51	-1.19	0.0	0.0
2020	16. 7.20	0.00	0.00	0.00	1.09	0.11	0.53			

1917	29. 9.17	936330.69	342833.96	2658.20	9.89	0.00	0.00	1.31	0.0	0.0
1918	24. 4.18	0.00	0.00	0.00	12.87	2.98	0.44	-4.27	0.0	0.0
1918	28. 8.18	0.00	0.00	0.00	6.60	0.00	0.00	-0.90	0.5	3.0
1918	26. 9.18	936330.94	342834.40	2653.83	5.60	0.00	0.00	1.17	0.0	0.0
1919	1. 5.19	0.00	0.00	0.00	8.25	2.65	0.44	-4.86	0.3	0.3
1919	9. 9.19	936331.11	342834.61	2649.58	1.49	0.00	0.00	-0.59	0.0	0.0
1919	14.10.19	0.00	0.00	0.00	0.83	0.00	0.00	1.16	0.0	0.0
1920	3. 6.20	0.00	0.00	0.00	3.11	2.28	0.51	-1.06	0.0	0.0
1920	16. 7.20	0.00	0.00	0.00	0.94	0.00	0.00			

1817	29. 9.17	936349.23	342746.21	2675.89	9.89	0.00	0.00	1.39	0.0	0.0
1818	24. 4.18	0.00	0.00	0.00	13.05	3.16	0.44	-3.78	0.0	0.0
1818	28. 8.18	0.00	0.00	0.00	7.23	0.00	0.00	-0.88	0.4	3.0
1818	26. 9.18	936349.27	342746.57	2672.07	6.25	0.00	0.00	1.07	0.0	0.0
1819	1. 5.19	0.00	0.00	0.00	8.68	2.43	0.44	-4.53	0.7	0.7
1819	9. 9.19	936349.26	342747.22	2668.09	2.40	0.00	0.00	-0.49	0.0	0.0
1819	14.10.19	0.00	0.00	0.00	1.85	0.00	0.00	1.11	0.0	0.0
1820	3. 6.20	0.00	0.00	0.00	4.02	2.17	0.51	-0.84	0.0	0.0
1820	16. 7.20	0.00	0.00	0.00	2.35	0.50	0.53			

1717	29. 9.17	936412.28	342668.67	2690.27	9.91	0.00	0.00	1.37	0.0	0.0
1718	24. 4.18	0.00	0.00	0.00	13.03	3.12	0.44	-3.54	0.0	0.0
1718	28. 8.18	0.00	0.00	0.00	7.50	0.00	0.00	-0.81	0.3	3.1
1718	26. 9.18	936412.34	342668.95	2686.95	6.60	0.00	0.00	1.35	0.0	0.0
1719	1. 5.19	0.00	0.00	0.00	9.66	3.06	0.44			







520	3. 6.20	0.00	0.00	0.00	6.13	1.67	0.51	0.85	0.0	0.0
520	16. 7.20	0.00	0.00	0.00	5.09	0.60	0.53	-0.51	0.0	0.0
520	20.10.20	0.00	0.00	0.00	3.28	0.00	0.00	-1.41	0.0	0.0

417	29. 9.17	936662.97	341673.16	2835.62	9.85	0.00	0.00			
418	24. 4.18	0.00	0.00	0.00	12.75	2.90	0.44	1.28	0.0	0.0
418	28. 8.18	0.00	0.00	0.00	8.25	0.00	0.00	-2.72	0.0	0.0
418	26. 9.18	936660.63	341683.44	2831.28	7.39	0.00	0.00	-0.77	10.6	10.7
419	1. 5.19	0.00	0.00	0.00	9.63	2.24	0.42	0.94	0.0	0.0
419	9. 9.19	936658.81	341692.18	2827.11	4.82	0.00	0.00	-3.25	9.3	9.5
419	14.10.19	0.00	0.00	0.00	4.43	0.00	0.00	-0.35	0.0	0.0
420	3. 6.20	0.00	0.00	0.00	6.43	2.00	0.51	1.02	0.0	0.0
420	16. 7.20	0.00	0.00	0.00	4.78	0.35	0.53	-0.83	0.0	0.0
420	26. 8.20	936657.44	341700.74	2824.08	3.21	0.00	0.00	-1.28	9.0	9.0
420	20.10.20	0.00	0.00	0.00	2.63	0.00	0.00	-0.52	0.0	0.0

317	29. 9.17	936674.87	341550.64	2863.04	9.76	0.00	0.00			
318	24. 4.18	0.00	0.00	0.00	12.33	2.57	0.42	1.08	0.0	0.0
318	28. 8.18	0.00	0.00	0.00	7.59	0.00	0.00	-3.03	0.0	0.0
318	26. 9.18	936668.29	341565.40	2857.12	6.65	0.00	0.00	-0.85	16.3	16.3
319	1. 5.19	0.00	0.00	0.00	9.02	2.37	0.42	1.00	0.0	0.0
319	9. 9.19	936663.18	341577.66	2851.14	3.85	0.00	0.00	-3.52	13.9	14.3
319	14.10.19	0.00	0.00	0.00	3.51	0.00	0.00	-0.31	0.0	0.0
320	3. 6.20	0.00	0.00	0.00	4.45	0.94	0.51	0.48	0.0	0.0
320	26. 8.20	936658.57	341590.14	2846.28	1.77	0.00	0.00	-2.05	13.8	14.2
320	20.10.20	0.00	0.00	0.00	1.03	0.00	0.00	-0.67	0.0	0.0

**Zone d'ablation – Balises de 2020**

point	date	x	y	z	haut. enf.	neige m	dens neig	bilan equiv. eau	vites hor. m/an	vites pente m/an
120	26. 8.20	936543.28	341368.08	2870.61	8.80	0.00	0.00			
120	20.10.20	0.00	0.00	0.00	8.20	0.00	0.00	-0.54	0.0	0.0

220	26.8.20	936600.72	341460.66	2869.64	8.35	0.00	0.00	-0.54	0.0	0.0
220	20.10.20	0.00	0.00	0.00	7.75	0.00	0.00			
-----										
320	26.8.20	936669.95	341548.50	2857.82	8.20	0.00	0.00	-0.63	0.0	0.0
320	20.10.20	0.00	0.00	0.00	7.50	0.00	0.00			
-----										
420	26.8.20	936661.57	341675.09	2829.97	8.53	0.00	0.00	-0.48	0.0	0.0
420	20.10.20	0.00	0.00	0.00	8.00	0.00	0.00			
-----										
2520	26.8.20	936726.78	340901.20	2993.07	8.48	0.00	0.00	-0.36	0.0	0.0
2520	20.10.20	0.00	0.00	0.00	8.08	0.00	0.00			
-----										
2420	26.8.20	936779.99	340902.95	2989.78	8.36	0.00	0.00	-0.36	0.0	0.0
2420	20.10.20	0.00	0.00	0.00	7.96	0.00	0.00			
-----										
2320	26.8.20	936827.90	340907.61	2991.05	8.96	0.00	0.00	-0.40	0.0	0.0
2320	20.10.20	0.00	0.00	0.00	8.52	0.00	0.00			
-----										
2220	26.8.20	936898.41	340902.16	2993.73	8.50	0.00	0.00	-0.36	0.0	0.0
2220	20.10.20	0.00	0.00	0.00	8.10	0.00	0.00			
-----										
520	26.8.20	936571.09	341635.65	2833.78	8.61	0.00	0.00	-0.46	0.0	0.0
520	20.10.20	0.00	0.00	0.00	8.10	0.00	0.00			
-----										
620	26.8.20	936401.20	341538.39	2834.60	8.00	0.00	0.00	-0.45	0.0	0.0
620	20.10.20	0.00	0.00	0.00	7.50	0.00	0.00			
-----										
720	26.8.20	936607.03	341919.58	2792.02	8.71	0.00	0.00	-0.49	0.0	0.0
720	20.10.20	0.00	0.00	0.00	8.16	0.00	0.00			
-----										
820	26.8.20	936522.01	341913.80	2786.94	9.33	0.00	0.00	-0.63	0.0	0.0
820	20.10.20	0.00	0.00	0.00	8.63	0.00	0.00			
-----										
920	26.8.20	936368.48	341914.61	2790.95	8.62	0.00	0.00	-0.40	0.0	0.0
920	20.10.20	0.00	0.00	0.00	8.17	0.00	0.00			

!	!	!	!	!	!	!	!	!	!	!	!	!
!	!	!	!	!	!	!	!	!	!	!	!	!
!	1020!	26. 8.20!	936243.86!	341917.67!	2790.62!	9.13!	0.00!	0.00!	!	!	!	!
!	!	!	!	!	!	!	!	!	-0.37!	0.0!	0.0!	!
!	1020!	20.10.20!	0.00!	0.00!	0.00!	8.72!	0.00!	0.00!	!	!	!	!
!	!	!	!	!	!	!	!	!	!	!	!	!
!	!	!	!	!	!	!	!	!	!	!	!	!
!	1120!	26. 8.20!	936516.09!	342342.47!	2714.90!	8.26!	0.00!	0.00!	!	!	!	!
!	!	!	!	!	!	!	!	!	-0.74!	0.0!	0.0!	!
!	1120!	20.10.20!	0.00!	0.00!	0.00!	7.44!	0.00!	0.00!	!	!	!	!
!	!	!	!	!	!	!	!	!	!	!	!	!
!	!	!	!	!	!	!	!	!	!	!	!	!
!	1320!	26. 8.20!	936309.35!	342366.23!	2717.93!	9.16!	0.00!	0.00!	!	!	!	!
!	!	!	!	!	!	!	!	!	-0.50!	0.0!	0.0!	!
!	1320!	20.10.20!	0.00!	0.00!	0.00!	8.60!	0.00!	0.00!	!	!	!	!
!	!	!	!	!	!	!	!	!	!	!	!	!
!	!	!	!	!	!	!	!	!	!	!	!	!
!	1620!	26. 8.20!	936335.78!	342642.55!	2686.68!	8.09!	0.00!	0.00!	!	!	!	!
!	!	!	!	!	!	!	!	!	-0.89!	0.0!	0.0!	!
!	1620!	20.10.20!	0.00!	0.00!	0.00!	7.10!	0.00!	0.00!	!	!	!	!
!	!	!	!	!	!	!	!	!	!	!	!	!
!	!	!	!	!	!	!	!	!	!	!	!	!
!	1720!	26. 8.20!	936406.52!	342669.48!	2680.66!	8.30!	0.00!	0.00!	!	!	!	!
!	!	!	!	!	!	!	!	!	-0.72!	0.0!	0.0!	!
!	1720!	20.10.20!	0.00!	0.00!	0.00!	7.50!	0.00!	0.00!	!	!	!	!
!	!	!	!	!	!	!	!	!	!	!	!	!
!	!	!	!	!	!	!	!	!	!	!	!	!
!	1820!	26. 8.20!	936344.69!	342726.71!	2670.83!	4.92!	0.00!	0.00!	!	!	!	!
!	!	!	!	!	!	!	!	!	-0.74!	0.0!	0.0!	!
!	1820!	20.10.20!	0.00!	0.00!	0.00!	4.10!	0.00!	0.00!	!	!	!	!
!	!	!	!	!	!	!	!	!	!	!	!	!
!	!	!	!	!	!	!	!	!	!	!	!	!
!	1220!	26. 8.20!	0.00!	0.00!	0.00!	8.28!	0.00!	0.00!	!	!	!	!
!	!	!	!	!	!	!	!	!	-0.80!	0.0!	0.0!	!
!	1220!	20.10.20!	0.00!	0.00!	0.00!	7.39!	0.00!	0.00!	!	!	!	!
!	!	!	!	!	!	!	!	!	!	!	!	!
!	!	!	!	!	!	!	!	!	!	!	!	!